

二〇一一年四月十日

学科门类:	理学
一级学科:	地理学
学科、专业:	自然地理学
研究方向:	自然灾变监测与评估
申请人姓名:	周瑞英
指导教师姓名:	海春兴

the Tumulte Plain

Research on the Surface Soil of the North Foot of the  
Yimshan Mountains in Comparison with the Dust of  
the Tumulte Plain

阴山北部砾石带与土壤特征平原大气降尘的相关性研究

## 硕士论文论题

内蒙古师范大学

学校代码:	10135
论文分册号:	
学号:	20084017002
研究生类别:	全日制

日期：2011年6月16日

导师签名：王海英

書名：圖說

深邃的学位论文在解密后也遵守此规定。

文档的内容和纸质论文的内容相一致。

本學位論文著作完全了解內蒙古師範大學有關保密、使用學位論文的規定：內蒙古師範大學有權保留并向國家有關部門或機構送交論文的複印件和磁盤，允許論文被查閱和借閱，可以將學位論文的全部或部分內容編入有關數據庫進行检索，可以採用影印、縮印或抄攝等複制手段保存、汇編學位論文，並且本人電子

## 关于论文使用授权的说明

姓名: 王紫璇 日期: 2011年6月16日

本人声明所呈交的学位论文是本人在导师指导下进行的研究工作及取得的研究成果，论文中不包含其他人已经发表或撰写过的研究成果。也不包含本人为获得内蒙古师范大学或其他教育机构的学位或证书而使用过的材料。本人保证所呈交的论文不侵犯国家机  
密、商业秘密及其他合法权益。与我一同工作的同志对本研究所做的任何贡献均已在论文中作了明确的说明并表示感谢。

明事性創思

中 文 摘 要

大氣降水量是大氣環境監測的重要內容之一，降水量是衡量空氣品質

量的重要指标。掌握大气象生态学的生态学和变化规律，探索生态与大气象生态学的关系，可以有针对性地进行有效的环境管理，减轻降尘对空气污

本文以阴山北麓表土与土壤特平原大气候的贡献，改善环境质量。本文以阴山北麓表土与土壤特平原大气候的贡献，改善环境质量。

说明：本大题共10小题，每小题3分，共30分。每小题有4个备选项，其中只有1个是正确的。

土壤样品的PH值、有机质含量、土壤机械组成、磷酸钙含量和水溶

周期在内蒙古财经学院教学校区、内蒙古师范大学校园内聘任的教师及助教。

将采集到的阴山北麓表土样品和收集到的土壤特  
殊虫进行单独收集。

子吸收分光度计对氧化物  $K_2O$ 、 $CaO$ 、 $Na_2O$ 、 $MgO$ 、 $Al_2O_3$ 、 $SiO_2$  和  $Fe_2O_3$

究结果显示：

用类型表土样品较为接近，接近平均表土含量，明显低于非沙型表土样品。

(2) 大气降水中的平均细颗粒物成分与建筑尘、裸地尘成分相差不多，土壤成分为：

(3) 富集系数法分析表明大风带与阴山北麓表土与表土成分较为接近；

特征较为一致。说明砂土颗粒主要成分与阴山北麓表土成风积风蚀作用较大。

总之，土壤特征与阴山北麓表土的关联性很好。

关键词 阴山北麓，王麻寺平原，粗麦性分折

Y1891711

Atmospheric dust is the important content of atmospheric environmental monitoring, the amount of dust is an important indicator to measure air quality. We grasped the source of atmospheric dust fall and the variation of it and explored the relationship between the source and atmospheric dust fall, in order to effective environmental management, reduce the contribution of dust on air pollution and improve environmental quality. In this paper, the research object is that correlation between the dust of the Tumote plain and the surface soil of the north foot of the Yinshan Mountains along the main wind direction in two consecutive years. Sampling areas are mainly located in the northwest areas of Hohhot, including the outskirts of Hohhot, the city of Baotou, Wuchuan County, and Daerhan-Maomian County. Using the 20 cm × 20 cm × 2 cm flat shovel, we took soil surface samples, including grassland, cultivated land and degenerated plough land woodlands, bush. Indoor physical and chemical analysis of soil samples was performed using pH meter determination of soil pH value, Tuini's method for determination of soil organic matter content, pipette and sieve analysis for determination of soil mechanical composition, the gas method for determination of calcium carbonate content, and the funnel method for determination of soil water-soluble salt content. The samples of dust fall from non-dust storm days were collected once a month. Sampling areas are mainly located in the teaching building roof of Inner Mongolia Finance and Economics, the Museum building roof of Inner Mongolia Finance and Economics and the Technology building roof of Shengle Campus of Inner Mongolia Normal University, but dust content, and the funnel method for determination of soil water-soluble salt content, the gas method for determination of calcium carbonate composition, the gas method for determination of soil organic matter content, pipette and sieve analysis for determination of soil mechanical composition, the gas method for determination of calcium carbonate content, and the funnel method for determination of soil water-soluble salt content.

## ABSTRACT

plain, correlation analysis

**KEY WORDS:** the north foot of the Yinshan Mountains, the Tumute

plain and the surface soil of the north foot of the Yinshan Mountains.

In short, there is a good Correlation between the dust of the Tumute different from those of dust from non-dust storm.

similar to that of dust fall from the sandstorms; the contents were the surface soils in the north foot of the Yinshan Mountains were very north foot of the Yinshan Mountains. It indicates that the component of characteristics of the dust of the Tumute plain and the surface soil of the

(3) Enrichment coefficient method shows that it is the same

dust.

seen that the average composition of dust fall approached that of soil dust fall and building material dust or coal smoke dust, and it also can be (2) There are many differences between the average composition of

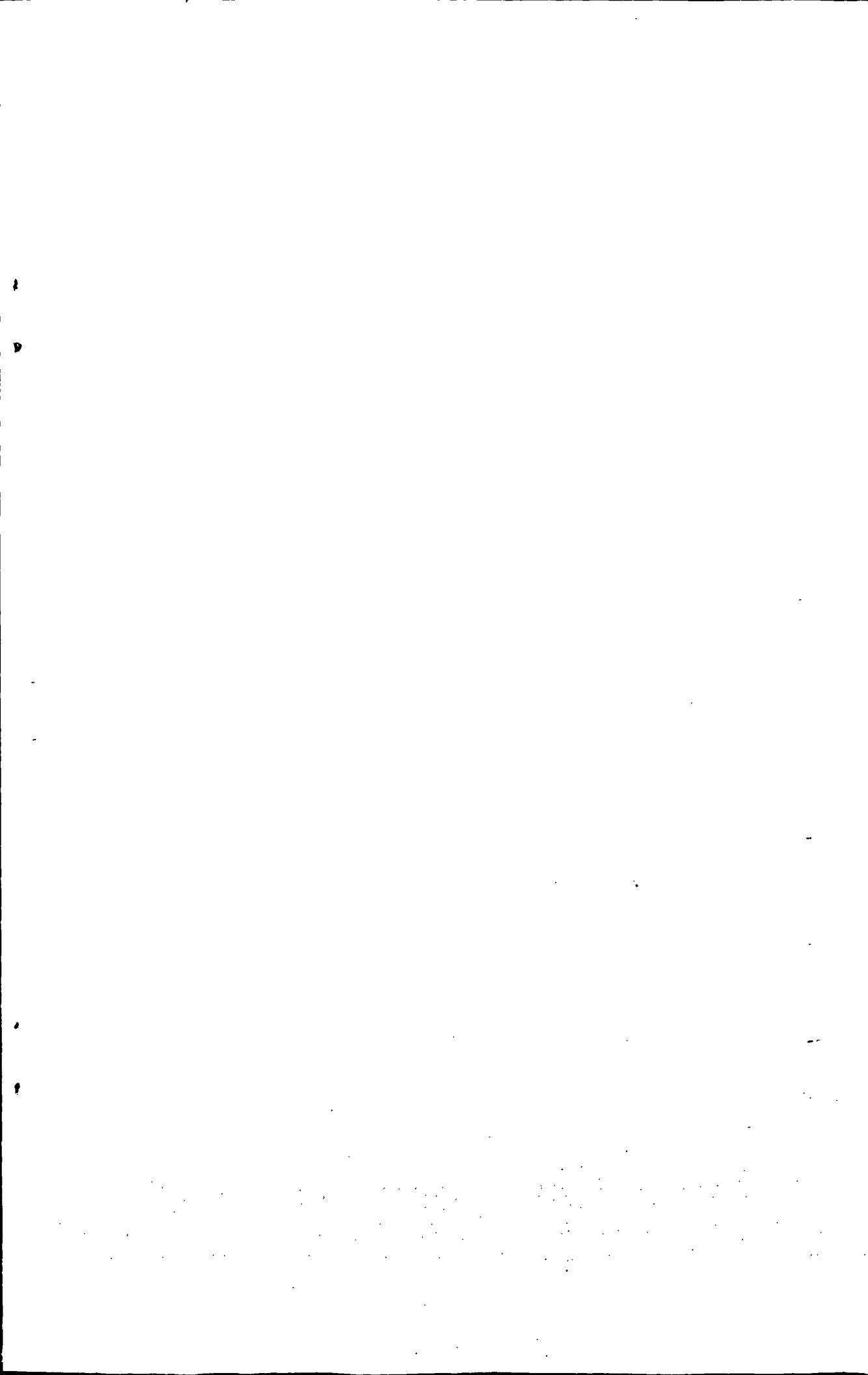
non-dust storm days.

Yinshan Mountains, than the sample components of dust fall from Yinshan Mountains, much closer to the composition of the surface soil of the north foot of the Yinshan Mountains; similar to that of the average sandstorms were very similar to that of the different surface soils in the surface soil; Obviously lower than the samples of dust fall from non-dust storm days; the sample components of dust fall from dust storm days was

(1) The oxides and trace elements contents of the dust fall from the

$\text{SiO}_2$ ,  $\text{Fe}_2\text{O}_3$ ,  $\text{Mn}$ ,  $\text{Cu}$ ,  $\text{Pb}$ ,  $\text{As}$  and  $\text{Ti}$ . The results show:

specrophotometer. Analyses included  $\text{K}_2\text{O}$ ,  $\text{CaO}$ ,  $\text{Na}_2\text{O}$ ,  $\text{MgO}$ ,  $\text{Al}_2\text{O}_3$ , compositions were determined using a Hitachi 508 atomic absorption Experimental Research Institute in Inner Mongolia. Elemental Yinshan Mountains. They were then sent to the Mineral Products dust of the Tumute plain and the surface soil of the north foot of the

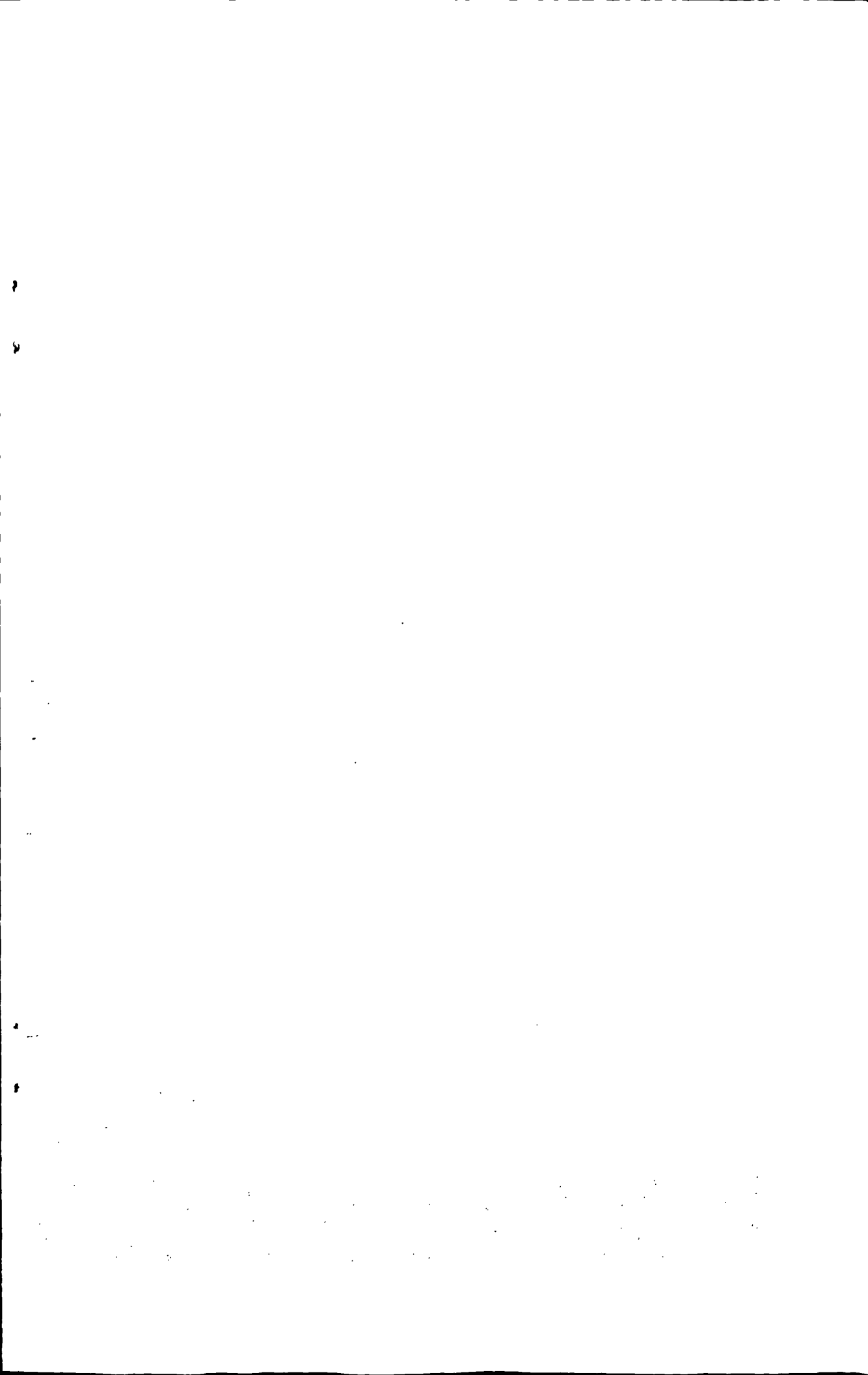


1. 引言	1
1.1 剖究目的和意义	1
1.2 国内外剖究现状	2
1.3 论文的剖究内容、技术路线	5
1.3.1 论文的剖究内容	5
1.3.2 论文的技术路线	5
2. 剖究区概况与剖究方法	7
2.1 剖究区概况	7
2.1.1 地理位置	7
2.1.2 气候条件	9
2.1.3 土壤条件	10
2.1.4 植被状况	11
2.2 样品的采集与研究方法	12
2.2.1 样品的采集	12
2.2.2 研究方法	17
2.2.3 算法原理	17
3. 阳山北麓表土理化性质的测定及分析	18
3.1 阳山北麓表土机械组分的测定及分析	18

## 目 录

3.1.1 测定意义 ······	18
3.1.2 方法选择的依据 ······	18
3.1.3 实验原理 ······	18
3.1.4 测定过程 ······	19
3.1.5 阴山北麓表土土壤机械组分的统计分析 ······	19
3.2 阴山北麓表土 pH 值的测定及分析 ······	24
3.2.1 测定意义 ······	24
3.2.2 方法选择的依据 ······	25
3.2.3 电位法原理 ······	25
3.2.4 测定过程 ······	25
3.2.5 阴山北麓表土土壤 pH 值的统计分析 ······	26
3.3 阴山北麓表土有机质含量的测定及分析 ······	28
3.3.1 测定意义 ······	28
3.3.2 方法原理 ······	28
3.3.3 测定过程 ······	28
3.3.4 阴山北麓表土土壤有机质的统计分析 ······	29
3.4 阴山北麓表土碳酸钙含量的测定及分析 ······	32
3.4.1 测定意义 ······	32
3.4.2 测定原理 ······	32
3.4.3 阴山北麓表土土壤碳酸钙统计分析 ······	32
3.5 阴山北麓表土水溶性盐量的测定及分析 ······	34
3.5.1 测定意义 ······	34

致谢	.....	59
参考文献	.....	54
6 结论	.....	52
5.4 小结	.....	51
5.3 利用富集因子法解析	.....	50
5.2 阴山北麓平均表土与降尘的相关性分析	.....	48
5.1 阴山北麓不同土地利用类型表土与降尘的相关性分析	.....	45
5 阴山北麓表土与土壤特性与降尘相关性分析	.....	45
4.3 小结	.....	44
4.2.2 大气降尘组成分分析	.....	41
4.2.1 阴山北麓表土组成分分析	.....	40
4.2 阴山北麓表土与大气降尘组成分分析	.....	40
4.1 阴山北麓表土与大气降尘组成分测定	.....	39
4 阴山北麓表土与大气降尘组成分测定及分析	.....	39
3.6 小结	.....	37
3.5.3 阴山北麓表土壤水溶性盐量的统计分析	.....	34
3.5.2 方法选择及测定过程	.....	34



## 1.1 研究目的和意义

### 1 引言

阴山脚下内蒙古高原与内蒙古平原的交界处，其相对高差在

800m 左右。受季风环流的影响，土壤带平原与内蒙古高原在地表组成物质迁移

沙尘暴发生的条件有：大风，疏松裸露的沙土质表层；不稳定的大气层结<sup>[1]</sup>。

在中国，由于人类活动强度加大后对生态环境的破坏<sup>[2]</sup>和气候变化导致的荒漠化

过程<sup>[3]</sup>加剧了一部分地区发生扬沙和沙尘暴天气的可能性<sup>[4]</sup>。土壤风蚀是我国北方

地区生态环境破坏的主要表现之一。土壤风蚀过程与地表环境特征或下垫面条

件有着密切的关系。地表环境特征主要包括植被特征（如植被类型、种类组成、

盖度、冠层高度和地上生物量等）、土壤特征（包括土壤类型、质地、机械组成、

容重、有机质含量、地表实度和土壤含水量等）和近地面风速特征，关于这方面

的研究，国外文献已有详尽的描述<sup>[5-9]</sup>。在发生风蚀的要素中，植被特征和土

壤性质主要影响近地面风速率<sup>[10]</sup>。因此，土壤风蚀过程与地表环境特征关系的

研究，一直是国际地理学和生态学工作者所关注的热点问题<sup>[11,12]</sup>。

近年来，为了阐明土壤风蚀过程与地表环境特征之间的复杂关系，以确定各

个地表环境特征因子在土壤风蚀过程中的作用，国内外学者进行了大量的实验研

究，提出了反映地表特征与近地面风相互作用关系的参数，其中使用最广泛的一

个参数是地面粗糙度长度（surface roughness length）或空气动力学粗糙度长

度（Aerodynamic roughness length）等<sup>[13,14]</sup>。在野外，地面粗糙度长度与土地利

用类型及耕作方式密切相关。干旱半干旱区发展农业生产对土壤风蚀产生很大的影

响，不同的土地利用方式、利用强度，对表土的破坏程度不同，对风蚀起沙的直

接决定着起沙物质组成及起沙量。

内蒙古中西部是中国主要的沙尘暴多发区<sup>[2,15,16]</sup>，1957-1996 年 40 年间，内蒙古中西部共发生各种范围的强和特强沙尘暴 184 次，平均每年 4.6 次<sup>[15]</sup>。受蒙古高压、干旱少雨和人类活动的影响，内蒙古中西部每年春季都会发生多次沙尘暴。沙尘暴直接影响着人类的生活环境，危害很大。扬沙和沙尘暴对土壤有极大的破坏作用<sup>[17,18]</sup>，会引起沙区表层土壤组织物质的大量损失，也会导致部分土壤的破坏作用<sup>[17,18]</sup>，沙尘暴的发生对下风向地区的空气污染影响很大。

大气气溶胶的主要组成部分，气溶胶中的含碳物质分为有机碳（Organic Carbon，生物源区、迁移路径<sup>[30]</sup>）以及粉尘气溶胶成分特征也有进一步认识<sup>[31]</sup>。碳元素是学者们对沙尘暴的成因、过程、趋势及防治对策做了大量研究<sup>[32]</sup>，对其实发

## 1.2 国内外研究现状

大帮助。

相同，也有不同的物质组成，这对不同区域间降尘对比分析及探清降尘来源有很大同一地点尘暴降尘与非尘暴降尘颗粒特征不同<sup>[33]</sup>，不同地点的降尘沉积特征也不快速降尘现象，由于搬运分质强度、搬运距离和沙尘暴源区及途经区特征的差异，而无降水，另外与地表沙尘的厚度以及空气湿度等有关。尘暴降尘具有风区大大增加了降尘量。沙尘天气出现的有利气象条件是冷锋推进时前方暖气团干尘暴降尘往往是以沙尘暴影响区域降尘的主要来源，多发的沙尘暴会下风向受尘暴降尘在干旱区降尘的主要方面。探清降尘来源对于改善环境，防治风沙，减轻沙尘危害是其影响的主要方面。探清降尘来源对于改善环境，防治风沙，减轻沙尘危害，对防止日本酸雨的产生起着积极的中和作用<sup>[34]</sup>。但整体而言，沙尘暴产生的本质，本后作为冰晶核的主要部分，对形成降水起着重要作用<sup>[35]</sup>，同时黄沙冰晶核带微尘，在这一点上，对清洁大气环境也起到一定的作用<sup>[36]</sup>。来自中国的黄沙到达日本，是农牧业生产中的灾害性天气<sup>[37]</sup>。日本有的研究人员认出弱“Kosa”对土壤微生物的地球化学循环作用的重要性<sup>[38]</sup>。浮尘还能稀释大气中的有害元素浓度，在这一点上，对清洁大气环境也起到一定的作用<sup>[39]</sup>。浮尘对农作物有很大力度，特别是在春季棉花苗期、玉米真叶期，作物幼芽上覆盖厚厚的降尘，影响植株的呼吸作用和光合作用<sup>[40]</sup>。浓重的浮尘可使牲畜患病甚至窒息死亡；造成交通事故，特别是春季棉花苗期、玉米真叶期，作物幼芽上覆盖厚厚的降尘，影响植株的呼吸作用和光合作用<sup>[41]</sup>。浮尘还能影响空气、水源、农作物及一切地面设施，影

响能见度、缩短光照时间、降低光照强度、光照质量<sup>[27, 28]</sup>。浮尘对农作物有很大影响，共做了大量工作<sup>[29]</sup>。浮尘能影响空气、水源、农作物及一切地面设施，影等已是不可忽视的大气和生态环境问题之一，因此长期以来为国内外学者所关注，并做了大量工作<sup>[29]</sup>。由黄沙天气过程所引起的气候学效应，如对大气能见度、大气光学特性、地辐射平衡的影响及导致自然生态环境的破坏危害，更容易受到细微颗粒物的伤害<sup>[29]</sup>。由黄沙天气过程所引起的气候学效应，如纤维颗粒物影响而过早死亡的老年人数以万计，儿童由于呼吸系统处于发育阶段，更容易受到细微颗粒物的伤害<sup>[29]</sup>。据美国有关部门统计，美国每年因空气中灰尘、头痛眩晕、心理恐慌等<sup>[29, 31]</sup>。据美国有关部门统计，美国每年因空气中灰尘、头痛眩晕、心理恐慌等<sup>[29, 31]</sup>。据美国有关部门统计，美国每年因空气中灰尘、头痛眩晕、心理恐慌等<sup>[29, 31]</sup>。浮尘天气可对人类的身体健康产生不良影响，如过敏、眼涩、鼻痒、胸闷、容忽视<sup>[22]</sup>。

<sup>[19, 20]</sup>。据沙尘暴影响无线电波的传播<sup>[21]</sup>，由于沙尘暴携带大量的颗粒物，使发生沙尘暴地区的天气气溶胶中可吸入颗粒物浓度急剧增加，其带来的健康危害不

大气降尘源解析工作展开速度较块。为了控制和削减大气中总悬浮颗粒物的含量，提高空气质量，对总悬浮颗粒物进行防治就必须了解大气中颗粒物的来源，包括定性地识别大气颗粒物的来源，定量地计算出各个源对环境污染的贡献值（分担率），这就是源解析（Source Apportionment）技术。源解析技术研究方法的数学模型主要可分为以污染源为对象的扩散模型（Diffusion model）和以污染区域为对象的受体模型（Receptor model）。扩散模型研究及应用已比较成熟。受体模型在现阶段的工作中得到不断的推广应用，它采用于排放数据和受体。

同样，用积分法来求取大气降尘值<sup>[44]</sup>。

颗粒物组成基本稳定<sup>[45]</sup>。蔡若松在研究丹东市大气降尘时，提出了网格布点，实分析手段对合肥市大气颗粒物进行了分析研究，结果显示合肥市各个取样点大气质量进行了一系列实验<sup>[46]</sup>。昨天虎运用X射线粉末衍射、红外吸收光谱、扫描电镜等仪器加合物，尿素与尿素硝酸盐加合物等四类，并对其影响  $\text{CaSO}_4 \cdot 2\text{H}_2\text{O}$  的溶解度进行物相鉴定，确定有机物的组成可分为有机酸、有机酸钾盐、有机酸盐XRD 对其水溶性部分用有机溶剂进行有机物的分离萃取，求出有机物的含量，采用机构的组成与含量，从离地表20米处的电网绝缘子表面采集九个大气降尘样品，对样品进行元素成分；重矿物使用三溴甲烷分离，并在偏光显微镜下鉴别矿物类型<sup>[47]</sup>。

JEOL EM -2010 型高分辨率电子显微镜（HRTEM）得到 TEM 图像，EDS 分析使用球形天虎在分析合肥市大气降尘时使用配有 ISIS X 射线能量色散光谱（EDS）的透射电镜；不做过任何预处理的尘样使用日本制造 X 射线光谱仪，带 GB W71-4 系列标尺；不做过任何预处理的尘样使用三溴甲烷分离，并在偏光显微镜下鉴别矿物类型<sup>[48]</sup>。

英国 Malvern Instruments Ltd. 生产的 Master SMAX 5004 散光粒度分析仪进行分球过颗粒物分布与其物理和化学性质的关系，对部分样品作了重金属元素分析，电镜观察以及  $\text{SO}_2$  含量与全硫同位素分析<sup>[49]</sup>。肖洪浪为了便于在土壤、植被和尘样之间对比，使用吸管法分析粒度组成，同时一些尘样在不加任何分散剂下使用英美公司 Micromeritics 公司生产），进行 X 射线吸收一沉降法测定<sup>[50]</sup>。海水和源为分析<sup>[49]</sup>。张宁在对降尘沉积物的粒度分析时使用 Sedigraph 5100 粒度分析仪间 8 次降雨中的镉土元素的浓度。对降尘和降雨中镉土元素的分布模式进行了分析<sup>[51]</sup>。李德成应用 ICP MS 测定了从 1998 年 10 月至 1999 年 9 月其研究区域也不尽相同。李德成应用 ICP MS 测定了从 1999 年 4 月至 6 月 12 个月的北京西北郊降尘中镉土元素的浓度，同时测定了从 1999 年 4 月至 6 月其研究区域也不同<sup>[52]</sup>。对大气降尘的颗粒过程中，研究方向与采用的方法及研究方法进行相关研究<sup>[53-54]</sup>。对大气降尘的颗粒过程中，研究方向与采用的方法及研

究方法 CC 和无机碳（Elemental Carbon，简称 EC），有学者通过 CC 和 EC 对大气

采样点测量的气态物质或颗粒物的物理、化学特征来判别受体的来源并定量判别复杂的中间化学过程，一般通过源排放和受体浓度的化学特征分析来推断各种源的浓度贡献率。应用的解析方法目前也相当丰富，有显微法（主要包括光学显微法OM、扫描电子显微镜法SEM、计算机控制扫描电镜法CCSEM）、物理法（主要包括X-射线衍射线XRD和孰线分析法trajectory analysis）、化学一统计学方法回归Multivariate Linear Regression, MLR、富集因子分析法Enrichment Factor, EF)、区域尺度模型 (Iterative、Divisive、Nonnegative、Nonoverlapping、IDNN)、粗集理论 (Rough Sets, RS)、投影寻踪回归法 (Projection Pursuit Regression, PPR)、基于遗传算法 (Genetic Algorithms, GA)、正交矩阵因子分解法 (Positive Matrix Factorization, PMF)、混合方法等。经常用的受体模型是因子分析法和化学质量平衡法。美国、日本等国家从20世纪70年代起, Miller 和 Friedlander 等人开始由排放源转移到受体, 进行大气颗粒物的源解析, 因子分析法是多元统计法的一种, 它是布利福德(Bifford) 等人在气溶胶研究中首先提出来的<sup>[60]</sup>; 1981年美国环保局将化学质量平衡(CMB, Chemi—cal Mass Balance) 模式作为评估大气质量的标准<sup>[61]</sup>。它现已作为一种重要的研究手段, 应用于城区、区域及全球的大气环境研究<sup>[62]</sup>。1987年美国环保局将受体模型的计算程序规范化, 并推荐使用, 取得了较好的结果。陈发虎等分析定期收集的兰州市除尘样品时, 用X射线荧光法分析较好的结果。陈发虎等分析定期收集的兰州市除尘样品时, 用X射线荧光法分析了其中24种元素的相对浓度, 并用富集因子法对数据进行了处理、分析<sup>[63]</sup>。客绍英等用中子活化分析法分析了唐山市12月份大风降尘中的元素及水平, 结果表明降尘中元素主要来自于地壳和扬尘, 市区污染程度较低<sup>[64]</sup>。殷汝琴(2005年)通过对铜陵市大风降尘重金属元素的分析做了铜陵市除尘的详细源解析。进年, 选取十个以上元素可保证相关系数在0.9以上<sup>[65-66]</sup>, 标识元素一般根据各种说明, 选择十个以上元素可保证相关系数在0.9以上<sup>[65-66]</sup>, 标识元素一般根据各种进行源解析工作关键是选择合适的标识元素及标识元素的数量要足够, 实践表源排放的特征成分及样品测定结果选择确定。

生态环境质量，大气环境质量有明显下降。不少学者对该区沙尘暴的影响、起因、来源、周期、治理措施作了大量研究<sup>[40, 47-69]</sup>，对内蒙古沙尘暴的下垫面条件演变<sup>[69, 66]</sup>、沙尘暴预测预报方法<sup>[67, 69]</sup>、天气气候特征<sup>[11]</sup>等也做了不少工作，受其研究内容侧重面小及定量研究较少的影响，研究结论对于从根本上推进本区生态环境建设的力度远远不够，关于内蒙古地区大气降尘的源解析工作仍未开展。为加快改善自治区居住地环境及生产环境，亟待探明大气降尘与资源的具体关系，以影响本区大气环境质量的主要天气——沙尘天气为重点，探清大气降尘与其源区表土成分之间的关系。

### 1.3 论文的研究内容、技术路线

- (1) 在阴山北麓分别选取草地、耕地、退耕地、林地、灌丛等多种土地利用类型进行定点采样。带回实验室风干后制样，进行土壤室内理化分析，分別用酸度计测定土壤 PH 值，红外法测定土壤有机质含量，吸管法测定土壤机械组成，气量法测定土壤胶体所含质量，漏斗法测定土壤水溶性盐量。此外，对氯化物 K<sub>2</sub>O、CaO、Na<sub>2</sub>O、MgO、Al<sub>2</sub>O<sub>3</sub>、SiO<sub>2</sub>和 Fe<sub>2</sub>O<sub>3</sub>及微量元素 Mn、Cu、Pb、As 和 Ti 等成分分质量百分含量进行测定。
- (2) 将几个降尘采样点降尘样品以月为周期进行收集，在沙尘暴天气发生时，量百分含量进行测定。
- (3) 分析降尘与各类表土成分的相关关系，探明阴山北麓表土与土壤特平原降尘的关系。

### 1.3.2 论文的技术路线

本文的技术路线见图 1-1。

图 1-1 论文研究技术路线图

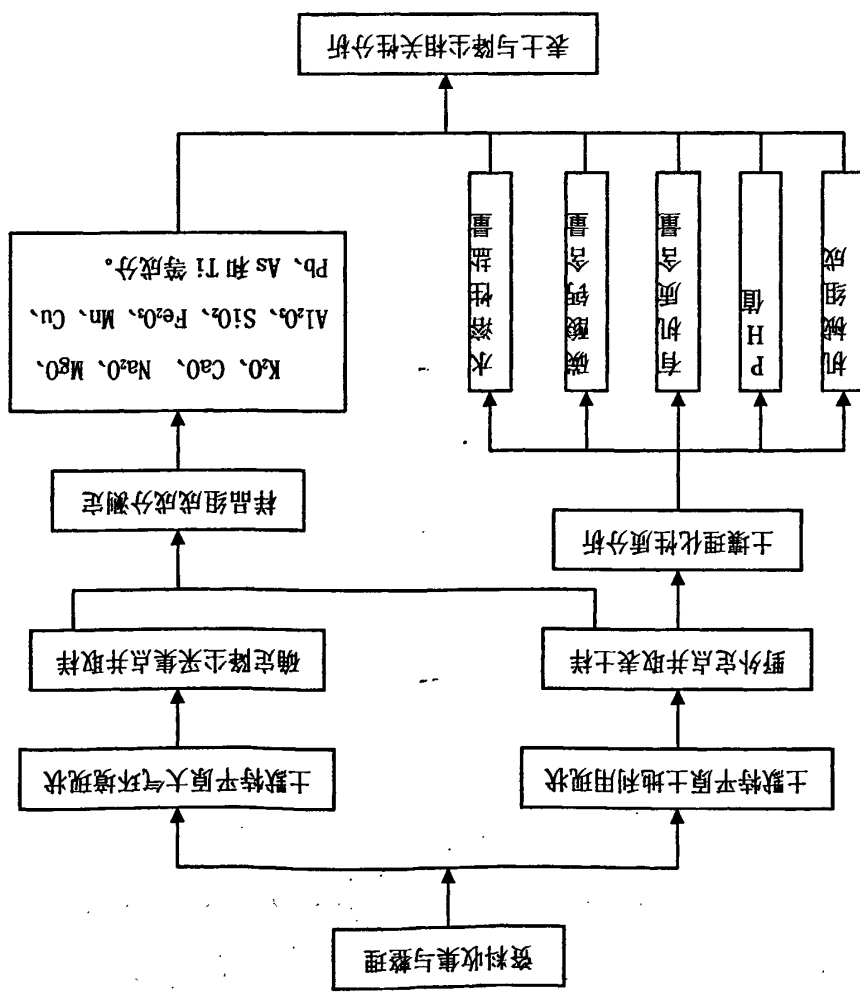
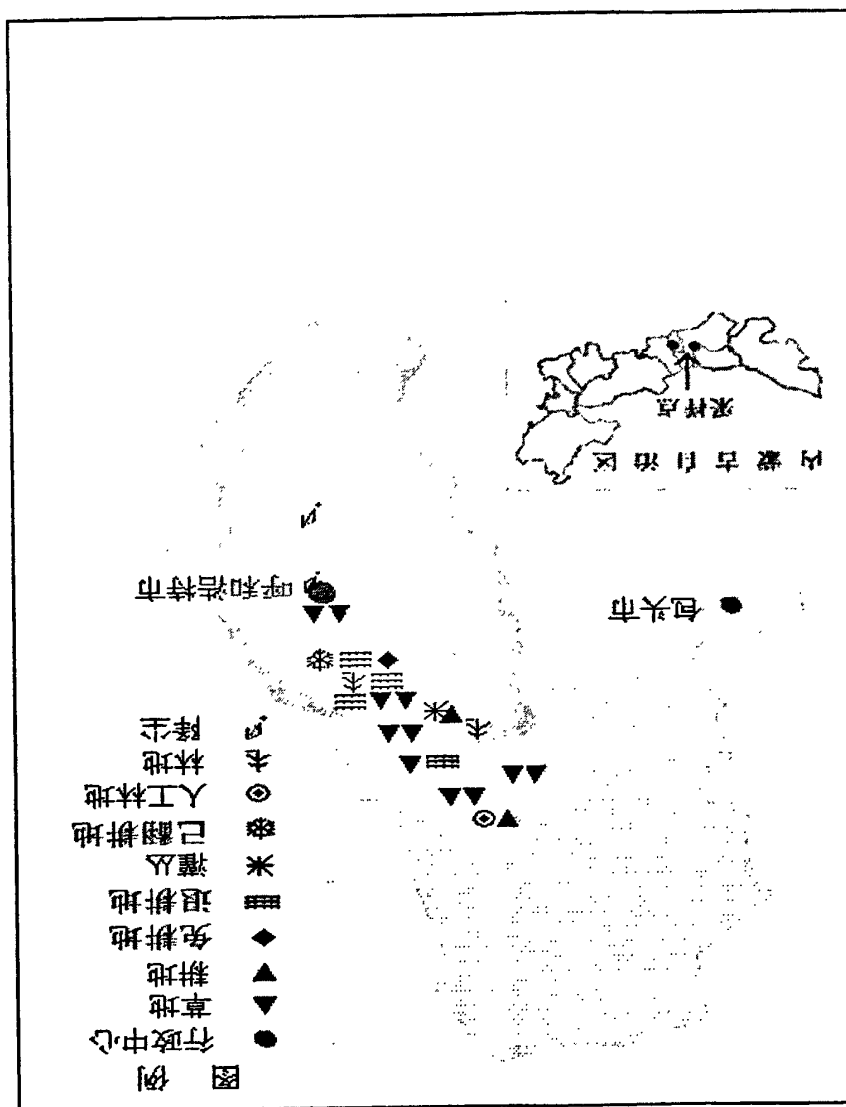


图2-1 采样区概况图



山区面积占总面积47%左右。阴山山脉的中段——大青山，为此区域的主要山脉。表土样品采集点主要位于呼和浩特西北地区，包括包头市达尔罕茂明安联合旗、武川县和呼和浩特市郊，见图2-1。该研究区境内自然地理环境复杂多样，采样位置包括表土样品采集点和降尘采样点。

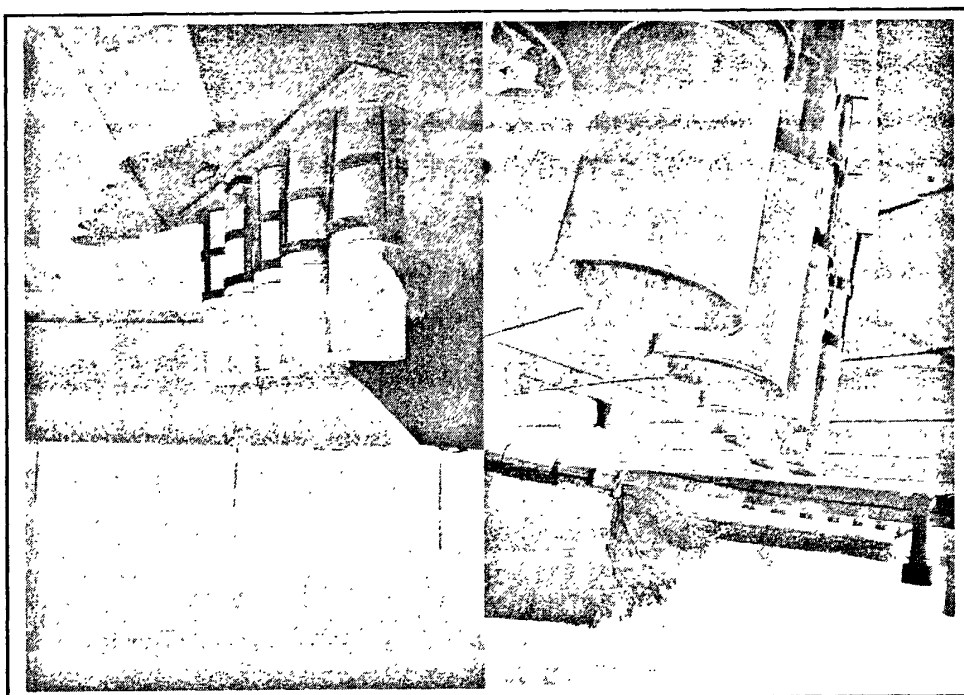
## 2.1 地理位置

### 2.1.1 研究区概况

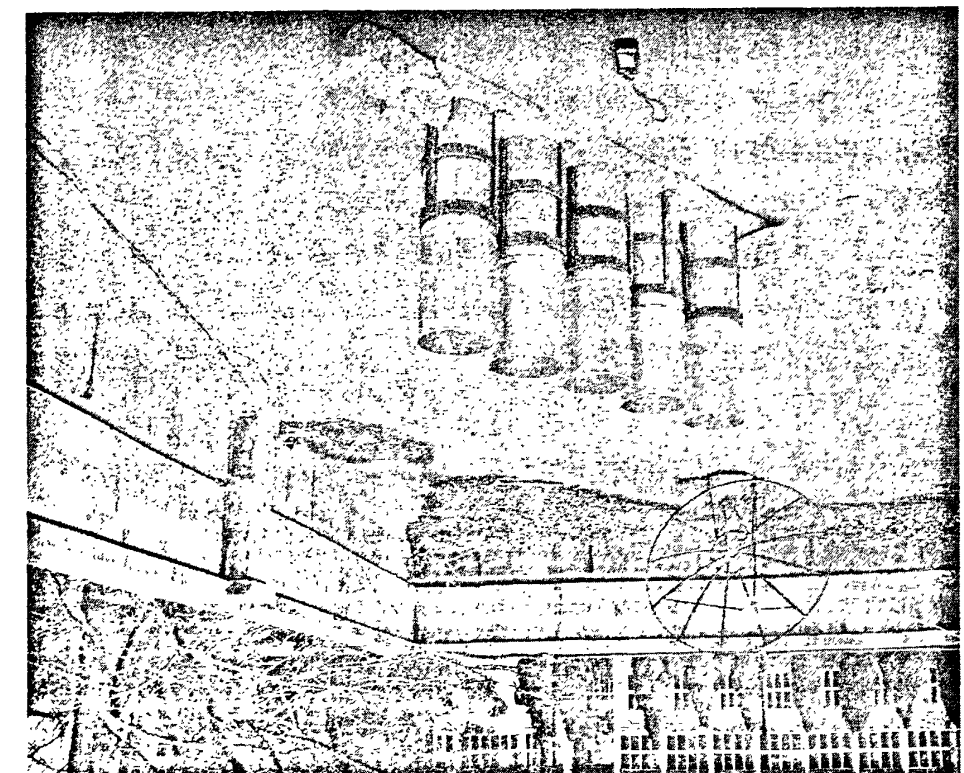
#### 2.1.1.1 研究区概况与研究方法

降生样品采集点的布设有三处，分别为：①西北城乡结合部，设在内蒙古助

图2-2 各降生样品采集点照片  
降生采样点③  
降生采样点②  
降生采样点①



降生采样点①



内蒙古师范大学硕士学位论文

呼和浩特市深居内陆，受阴山影响，最热月平均气温 $17^{\circ}\text{C}$ ~ $22.9^{\circ}\text{C}$ ，最低气温 $-12.7^{\circ}\text{C}$ ~ $-16.1^{\circ}\text{C}$ 。平均年较差为 $34.4^{\circ}\text{C}$ ~ $35^{\circ}\text{C}$ ，平均日较差为 $13.5^{\circ}\text{C}$ ~ $13.7^{\circ}\text{C}$ 。降水地域分布是西南到东北大青山区逐渐增大，西南区降水量在 $350\text{mm}$ 左右，平原区在 $400\text{mm}$ 左右，大青山区在 $430$ ~ $500\text{mm}$ ；春季风大，夏、秋季节风和日期，西北风是冬季的主导风向，夏季为西南风或东南风，平均风速为 $1.8\text{m/s}$ ，平均大风出现日数 $26.9\text{d}$ ，且多集中在春季。日照充足，年日照时数为 $2960\text{h}$ ，南部平原区为 $113$ ~ $134\text{d}$ ，低山丘陵区为 $110\text{d}$ 。日照充足，全年降水量 $338.32\text{mm}$ ，年平均蒸发量 $1728.64\text{mm}$ ，无霜期 $122.25\text{天}$ ，全年大风日数 $23\text{天}$ 。武川县年平均气温 $3.64^{\circ}\text{C}$ ，年日照总时数 $2932.8$ 小时，年平均降水量丰富，多年平均风速 $3.6\text{m/s}$ ，日平均风速大于或等于 $8\text{m/s}$ 的日期年均 $116.4\text{天}$ ，大于或等于 $17\text{m/s}$ 的大风年均 $39\text{天}$ 。自 $1960$ 年有记录以来，期间最大风速达到 $12$ 级。一年中春季风速成最大，冬季最小。一年中风向很有规律。 $4$ ~ $9$ 月多为南风，是夏季风盛行时期， $12$ 月~ $3$ 月多西北风，此时期在冬季风控制之下。各风向出现频率，除静风占 $30\%$ 外，西北风最多，占 $10\%$ ，南风次之，占 $9\%$ ，偏东风出现频率最小，约占 $1\%$ 。一日中，风速的变化成单峰型，日出后风速逐渐增大，到午后 $14$ ~ $15$ 时为最大，之后风速逐渐减小，到夜间 $2$ ~ $3$ 时为最小。大风给农业生产带来危害。春季大风吹走表土，夹带泥沙，形成“沙暴”，当地称作“大黄风”。全县历年平均沙暴日数 $7.5\text{天}$ ，最多可达 $16\text{天}$ 。

## 2.1.2 氣候條件

经济学院，地理位置为 $40^{\circ} 51' 10.44''$ N,  $111^{\circ} 37' 09.00''$ E; ②城区，设在内蒙古师范大学，地理位置为 $40^{\circ} 48' 00.00''$ N,  $111^{\circ} 07.20''$ E; ③城区东南，设在和林格尔经济开发区，地理位置为 $40^{\circ} 29' 27.56''$ N,  $111^{\circ} 46' 54.52''$ E。各降尘采样点照片如图2-2。

持续时间最长 192 天，最短 157 天，无霜期 90~120 天，年日平均气温  $0^{\circ}\text{C}$  以上持续时间最长 227 天，最短 183 天。年平均降水量 256.6mm，且多集中于七、八两月，年最多降水量 400.3mm。年最少降水量 142.6mm，一日最大降水量 90.8mm。和林格尔属于经济开发区，属西北高原大陆性气候，降水量以 8 月份最多，12 月份最少，雨量相差比较大。大陆季风气候特点明显。从各季来看，春季 3~5 月份降水量 63mm，占全年降水量的 15.1%，这是出现春旱的主要原因。夏季 6~8 月份降水量 250mm，占全年降水量的 59.3%。秋季 9~11 月份降水量 96mm，占全年降水量的 23.1%。冬季 12 月至 1 月份降水量 11mm，占全年降水量的 2.5%。

阴山北麓土壤主要为山地栗钙土和部分森林棕壤土，属森林干旱草原过渡地带。土壤有淋溶灰钙土，占 33.2%，其次是粗骨土，占 27.6%，还有灰钙土和草带。土壤有机质含量较高，风沙吹扬相对该区土壤性质有较为深入的影响。冬季季节是该区风力强劲，风沙吹扬最为严重的季节，其上风区土壤的可蚀性对于向该区的表土物质吹扬产生重要影响。在前期研究中，利用电导率、有机质、土壤粒度组分等因子经过风蚀方程计算，对该区冬季季节上风区土壤的可蚀性有了一定认识。经过数据分折得出，在阴山北麓不同土地利用的土壤平均风蚀性具有了一定认识。根据还林草，减小其潜在风蚀性。

春季随着温度的继续升高，土壤湿度和湿度环境发生了变化，土壤潜在可蚀性变大。但随着温度的继续升高，土壤湿度和湿度环境发生了变化，土壤潜在可蚀性降低，但这种变化并不是持续的。土地利用方式不同，土壤表层的理化性质、化学性质，从而导致了表层土壤的潜在风蚀性的不同。在第

一次采样中耕地的土壤可蚀性最小，为 57.05%，草地的土壤可蚀性最大，为 72.19%，其它土地类型的土壤可蚀性居于二者之间，如未成林造林地的土壤可蚀性为 65.79%，灌丛地土壤可蚀性为 62.25% 等。人类活动在土地利用过程中起主导作用，它是叠加在自然因素之上的影响土壤潜在风蚀性的人为因素。阴山北麓草地的平均土壤潜在可蚀性最小，为 63.82%，耕地的平均土壤潜在可蚀性最大，为 66.05%，灌丛和林地居于其中，分别为 64.58% 和 64.88%。实验证得出，土壤粒径为  $2\text{mm}$  和  $<0.002\text{mm}$  的颗粒所占百分比一般不大，约在 22% 以下，草地略高一些约

### 2.1.3 土壤条件

天日数，每年平均 14d，多在 3~5 月份，最多可达 23d。本区常年多西北风，间有西南风，平均风力为 2 级，最大风力 8 级，最大风速为 24.5m/s。夏秋季也有东南风，风力不大，遇有东南风时会出现降雨天气。大风 24.5m/s。夏季也有东南风，风力不大，遇有东南风时会出现降雨天气。大风 24.5m/s。夏季也有东南风，风力不大，遇有东南风时会出

城市街道绿带起到美化环境、减弱噪声、消除污染、增加大气湿度、降低城区温度的作用。呼和浩特市区共有行道树3万株，11个品种；2005年园林绿化面积3371.4ha，公共绿地面积937.5ha，建成区绿化覆盖面积3725ha，人均拥有公共绿地面积8.55m<sup>2</sup>，环境条件尚不能适应现代化首府城市的建设要求。公路绿化带两侧栽植数行行道树水平上，而且树种较为单一，以阔叶的杨柳树为主，林带缺乏层次，其防风、防雪等防护功能差。在防风沙方面存在问题非常明显。由于存在以上一些绿化问题，使得市区大气环境污染自净能力较低，这很不利于空气中的尘埃物质的去除以及地面起尘的抑制，使的污染物产生的物质能够大范围传播，大风天气地面尘埃再次起尘强度较大。据测定，目前在呼和浩特市区大部分街道行道树下“雨季”前的6月中旬其

山地海拔 $1700\text{m}$ 以上阴坡有山杨、白桦天然次生林，海拔 $1600\text{m}$ 以下山地灌丛和典型草原植被，中部平原地区的山前倾斜平原主要是地带性的典型草原植被，冲积平原为农田及草甸、沼泽等。东南部山区自然垂直带谱明显，从山麓到山麓有山地草甸带、山地森林灌丛带和森林草原带，南部黄土丘陵区自然植被过渡为灌丛草原、草甸草原和典型草原。同时，有草甸植被、盐生植被和沼泽植被间分布。其中，典型草原植被分为四种类型：森林草原灌丛类型，丘陵草原类型，沙地草原类型和低平草甸草原类型。山地阴坡、半阴坡部位，属于次生山地白桦林区；山地阳坡、半阳坡部位，属于生灌丛林区<sup>[75]</sup>。

阴山北麓有乔木 12 科 40 种，灌木 22 科 87 种，藤本 4 科 11 种，草本 65 科 731 种乔木主要为：白桦、山杨、油松、辽东栎、侧柏等；灌木主要有机榛子、杨属桃、黄刺玫、线叶菊、鼠李；草本多为针茅、羊草、三芒草、糙隐子草、披碱草和地榆。丰富的植物资源构成了山区的生物多样性，优质的野生牧草是山地

## 2.1.4 植被状况

环境。

而此部分物质所占比例又较大，约在78%以上。从阴山北部表土粒径组成可以看出，该区有肥沃的良好物质基础，在大风天气下会产生大规模的沙尘飞扬现象，进而成为下风向的尘源。呼和浩特市位于其下风向的下风向，阴山北部表土在大风吹送下，严重影响呼和浩特市区的大气春季季风的下风向。

占 46%，这部分物质很难受风蚀，因为大粒径的土壤颗粒不易被吹动，小直径的土壤颗粒其粘着性弱也很难吹动<sup>[7-14]</sup>。可风蚀物质主要集中在 0.002~2mm 粒，

土壤含水量为4.5%，而且有逐年降低的趋势，“雨季”后的9月份也只有6.2%，连土壤本身持水能力的80%都达不到，根本没有深层层入渗的可能。可见在城建范围内，不仅雨水对地下水毫无补给能力，就连树木本身的生理需水也满足不了，叶色灰黄，夏季常有干叶、落叶现象，“末老先衰”，有的甚至完全死亡。树木改土疏失逐年加剧，抗御风沙和对空气的自然净化能力以及对气温、湿度的调节改善生态环境的功能不能得以充分发挥。由于地下水位下降，树木枯萎，土石裸露，水土流失逐年加剧，抗御风沙和对空气的自然净化能力以及对气温、湿度的调节能力显著降低<sup>[15, 16]</sup>。

## 2.2 样品的采集与研究方法

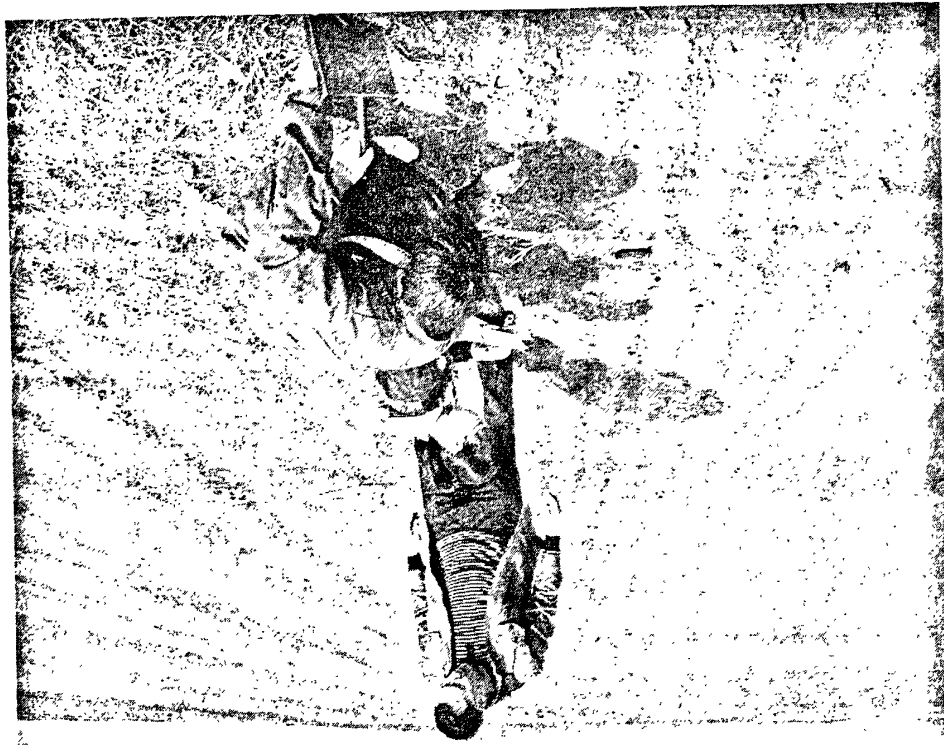
### 2.2.1 样品的采集

#### 2.2.1.1 阴山北麓表土样品的采集

表土样品采集照片见图2-3。

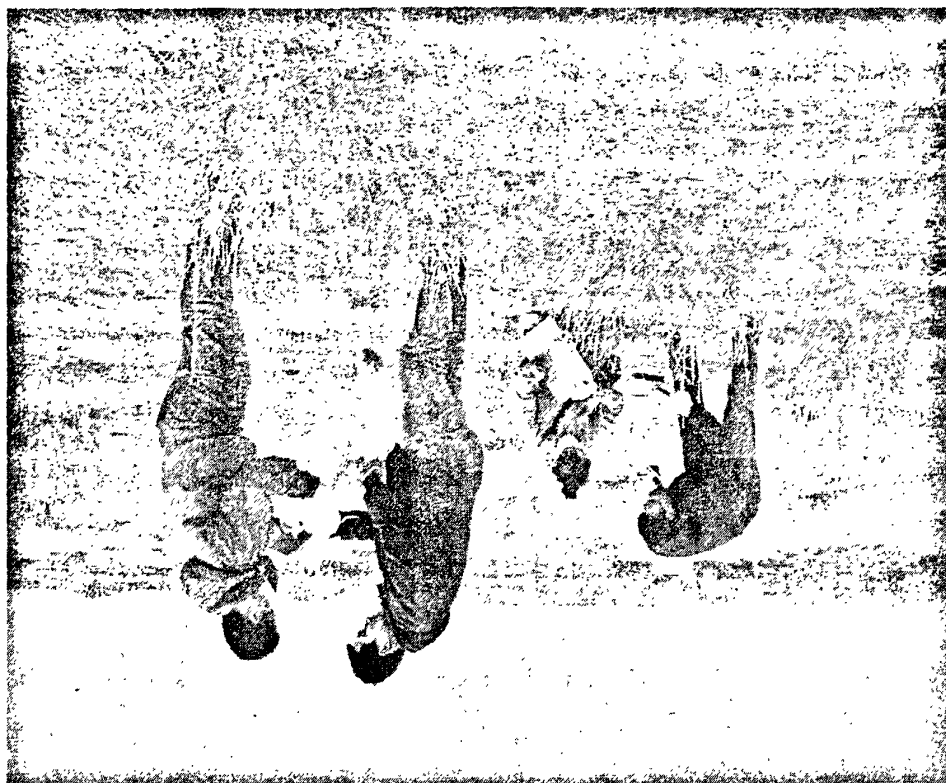
2009年、2010年春季（3~6月），在阴山北麓沿西北风向以呼和浩特—武川—布尔津旗交界处的公路为轴线进行定点采样，采样点间隔30km左右，同时在轴线两侧取重叠样。采样点上分别选取草地、耕地、退耕地、林地、灌丛等多种土地利用类型。2009年4月12日采样，采样点共14个，见表2-1。2009年5月2日及2010年的三次采样（时间分别是：3月30日、5月1日和5月29日），采样点共27个，新增采样点13个，新增采样点见表2-2。阴山北麓27个表土采样点，见表2-3。方法是将GPS平放在采样点处，待读数稳定后记录所显示的经度、纬度和海拔高度。在各采样点用20cm×20cm×2cm的平板取土壤表层样，同时取2~3个重叠样，带回实验室风干后制样，用纸袋封装备分析用。

(q)



(a)





(c)



土地类型	纬度	经度	海拔 (m)
草地	40° 56' 19.7" N	111° 32' 17.6" E	1598
草地	41° 06' 50.3" N	111° 24' 57.8" E	1568
荒地	41° 06' 50.2" N	111° 24' 57.6" E	1569
已翻耕	41° 19' 44.9" N	110° 54' 09.9" E	1633
灌丛	41° 22' 03.7" N	110° 40' 34.8" E	1602
灌丛	41° 22' 06.2" N	110° 40' 37.9" E	1615
灌丛	41° 26' 46.1" N	110° 31' 58.5" E	1496
灌丛	41° 26' 47.3" N	110° 32' 00.9" E	1496
耕地	41° 26' 54.8" N	110° 32' 44.6" E	1431
耕地	41° 32' 54.8" N	110° 32' 44.6" E	1431
耕地	41° 38' 58.1" N	110° 28' 36.5" E	1353
耕地	41° 38' 59.2" N	110° 28' 35.8" E	1354
人工林地			

表2-1 2009年4月12日采样点GPS读数

土地类型	纬度	经度	海拔 (m)
草地	40° 56' 20.6" N	111° 32' 24.3" E	1601
已翻耕	41° 06' 45.9" N	111° 24' 54.8" E	1568
耕地	41° 06' 45.1" N	111° 24' 54.8" E	1610
耕地	41° 12' 0.8" N	111° 16' 57.6" E	1610
耕地	41° 12' 17.9" N	111° 16' 55.4" E	1616
草地	41° 19' 46.3" N	110° 54' 10.7" E	1637
草地	41° 32' 55.3" N	110° 32' 48.7" E	1432
草地	41° 30' 57.4" N	110° 41' 29.4" E	1508
草地	41° 30' 57.0" N	110° 41' 32.9" E	1506
草地	41° 24' 0.09" N	110° 53' 45.2" E	1699

表2-2 新增采样点GPS读数

此外，收集交通尘、煤烟尘和建筑尘作为对颗粒物折算样品。交通尘样品的采集方法是选取三条环城路和沿街市区间交通繁忙程度不同的道路，对同一条道路选取长度约200m作为采样区域，布设4个采样点，每个采样点间隔约50m，在同一采样点处，用铁毛刷分别刷取道路边缘和道路中央样品，最后将两样品混匀，作为从此采样点处的交通尘样品。煤烟尘样品的采集方法是选取三个住宅小区的取暖锅炉房，选择在住宅楼的上、中、下三个层次的表面及于墙处和烟道处分别进行取样，最后将样品进行混匀，即为煤烟尘样品。建筑尘样品的采集方法是对多个建筑工地用边样品进行采集，并将采集到的所有样品进行混匀，即为建筑尘样品。

图2-3 丽山北麓表土样品采集照片

(d)

样品封装于纸袋待测。

三个降尘采样点分别设于内蒙古师范大学教学楼顶、内蒙古师范大学校门附近地  
面土壤及和林格尔县内蒙古师范大学科技楼顶，均距地面十米左右，以月为周期定  
期采集降尘样品，沙尘暴降尘单独收集。收集取样时用毛刷刷取。将收集的所有  
面土拭子装入塑料袋中，采样时间为2009年、2010年的3~6月，以月为周期定

## 2.2.1.2 大气降尘样品的采集

样点序号	土地类型	纬度	经度	海拔高度(m)
1—1	草地	N40° 56' 19.7"	E111° 32' 17.6"	1598
1—2	草地	N40° 56' 20.6"	E111° 32' 24.3"	1601
2—1	兔群地	N41° 06' 50.3"	E111° 24' 57.8"	1568
2—2	退耕地	N41° 06' 50.4"	E111° 24' 58.0"	1569
2—3	已翻耕	N41° 06' 50.2"	E111° 24' 57.6"	1569
2—4	已翻耕	N41° 06' 45.9"	E111° 24' 54.8"	1568
2—5	退耕地	N41° 06' 45.10"	E111° 24' 54.8"	1610
2A—1	耕地	N41° 12' 17.9"	E111° 16' 57.6"	1610
2A—2	耕地	N41° 12' 17.9"	E111° 16' 55.4"	1616
3—1	草地	N41° 19' 45.1"	E110° 54' 09.9"	1633
3—2	退耕地	N41° 19' 44.9"	E110° 54' 09.9"	1633
3—3	草地	N41° 19' 46.3"	E110° 54' 10.7"	1637
4—1	耕地	N41° 22' 03.7"	E110° 40' 34.8"	1602
4—2	灌丛	N41° 22' 06.2"	E110° 40' 37.9"	1615
5—1	灌丛	N41° 26' 47.7"	E110° 31' 58.5"	1491
5—2	耕地	N41° 26' 46.1"	E110° 31' 58.5"	1496
5—3	耕地	N41° 26' 47.3"	E110° 32' 00.9"	1496
6—1	草地	N41° 32' 54.8"	E110° 32' 44.6"	1431
6—2	草地	N41° 32' 55.3"	E110° 32' 48.7"	1432
7—1	耕地	N41° 38' 58.1"	E110° 28' 36.5"	1353
7—2	人工林地	N41° 38' 59.2"	E110° 28' 35.8"	1354
8—1	草地	N41° 30' 57.4"	E110° 41' 29.4"	1508
8—2	草地	N41° 30' 57.0"	E110° 41' 32.9"	1506
9—1	退耕地	N41° 24' 0.09"	E110° 53' 45.2"	1699
9—2	草地	N41° 24' 03.8"	E110° 53' 48.8"	1696
10—1	草地	N41° 20' 50.3"	E111° 11' 20.5"	1597
10—2	草地	N41° 20' 53.3"	E111° 11' 19.5"	1591

表 2-3 阿山北麓表土采样点经纬度一览表

草地	41° 24' 03.8" N	110° 53' 48.8" E	1696
草地	41° 20' 50.3" N	111° 11' 20.5" E	1597
草地	41° 20' 53.3" N	111° 11' 19.5" E	1591

素的浓度。

当某元素的 EF 值显著大于 1 时，可表明与地壳平均组份对比，该元素在大气中已很丰富。如果 EF 值小于 1，则表明该元素在大气中贫乏，或表明所用参考物质不属于气溶胶的直接来源。考虑到自然界有许多因素会影响大气中元素的浓度。

$$EF = \frac{(C_x/C_{Al})_{\text{地壳}}}{(C_x/C_{Al})_{\text{样品}}}$$

本论文选 Al 作为参考元素。富集因子 EF 的求解表达式如下：

50% (按重量计) 来源于土壤或风沙。

在颗粒物中富集较高，它们大多由人为活动而来。北京大气颗粒物中平均约有 50% (按重量计) 来源于土壤或风沙。我国北京、天津地区用此法所得结果表明，铝、磷、硫、镁、钛等元素主要来源于扬尘。而田金山的大气颗粒物多数来自印地安纳的大气颗粒物主要来源于工厂的排放物，而田金山的大气颗粒物多数来自地表的土壤。也有采用泰勒 (S.R. Taylor) 的。用此法则剔除了美国梅森 (B. Mason, 1966) 的，也有采用泰勒 (S.R. Taylor) 的。用此法则剔除了美国等。上述地壳中元素含量 (即地壳的元素丰度) 可用地球化学上的数据，如选用定性好、分析结果精确度高的低挥发性元素。国际上多用 Fe、Al、Si、Ti、Sc 等。相比元素的选择，一般选用地壳中普遍存在的而人为污染来源较少、化学稳定性好的元素。例如，它比通常所得浓度 (即为绝对浓度) 进行比较的结果更为可靠而精确。相比元素的选择，一般选用地壳中普遍存在的而人为污染来源较少、化学稳定性好的元素。同样，求出地壳中相应元素 x 与 Fe 的比值，即  $(x/Fe)$  的富集因子值，用 EF 表示。富集因子法是一种双重归一化的计算方法，它能消除大气颗粒物采样、分析、风速、风向及离污染源远近等因素引起的各种补丁因素的影响，所以，它比通常所得浓度 (即为绝对浓度) 进行比较的结果更为可靠而精确。

对田山北壤表土与大气降尘成分的相关性分析，采用了富集因子法。富集因子法，是以外表示大气颗粒物中元素的富集程度，判断和评价颗粒物中元素来源 (自然来源和人为来源) 的方法。此法郭顿 (C.E. Gordon) 于 1974 年首先用于大气颗粒物的研究。根据大气颗粒物中各种元素 (令其为 x)，对其中某一种元素，如铁 (Fe) 作为参考元素，求它们之间的比值，即  $(x/Fe)$  颗粒，称此为颗粒物的富集。同样，求出地壳中相应元素 x 与 Fe 的比值，即  $(x/Fe)$  地壳，称此为地壳中 x 元素的相对浓度；同样，求出地壳中相应元素 x 与 Fe 的比值，即  $(x/Fe)$  地壳，这就是地壳中 x 元素的相对浓度。然后，把这两种浓度相除，即为 x 元素的富集因子值，用 EF 表示。富集因子法是一种双重归一化的计算方法，它能消除大气颗粒物采样、分析、风速、风向及离污染源远近等因素引起的各种补丁因素的影响，所以，它比通常所得浓度 (即为绝对浓度) 进行比较的结果更为可靠而精确。

## 2.2.3 算法原理

百分含量。

将田山北壤表土样品及所收集的大气降尘样品送到内蒙古自治区实验研究所在使用日立 508 型原子吸收分光光度计进行测定。测定内容包括：氧化物  $K_2O$ 、 $CaO$ 、 $MgO$ 、 $Al_2O_3$ 、 $SiO_2$  和  $Fe_2O_3$  及微量元素  $Mn$ 、 $Cu$ 、 $Pb$ 、 $As$  和  $Tl$  等成分的质量量。

对田山北壤表土样品进行室内理化分析，分别用酸度计测定土壤 pH 值，正盐法测定土壤有机质含量，吸管法测定土壤机械组分，氯量法测定土壤胶膜钙镁离子含量，漏斗法测定土壤水溶性盐量。

## 2.2.2 研究方法

根据 Stokes 定律，大颗粒的沉降速度较快，小颗粒的沉降速度较慢，把土壤样品放到液体中制成一定浓度的悬浊液，悬浊液中的颗粒在重力作用下将发生沉降，因此可以根据不同粒径的颗粒在液体中的沉降速度不同来测量粒度分布。

### 3.1.3 实验原理

研究中采用“吸管法”。

土壤机械组的室内测定一般采用“比重计法”和“吸管法”，野外则采用“干试法”和“湿试法”进行简易速测。其中，吸管法操作较为繁琐，计算也较为繁琐，故在本果较为清晰，而比重计法操作较为简单，但精度较差，计算也较为繁琐，故在本

### 3.1.2 方法选择的数据

土壤进行改良，从而指导我们的农业生产。<sup>[77-79]</sup>

土壤质地是指土壤中各粒级土粒的配合比例或各粒级土粒在土壤总重量中所占的百分数，又称土壤机械组成。根据我国土壤质地分类标准，把土壤划分为砂土、壤土和粘土三大类。土壤质地的粗细直接影响土壤蓄水性、透气性和保肥性。一般而言土壤粒径较大的砂质土通透性较强，而壤土通透性和保肥性较差；相反粘性土虽然通透性较差，但蓄水保肥力较高，土壤温度的变幅也较小；而壤土则介于二者之间。所以说土壤的质地是影响土壤理化性质和土壤肥力状况的主要因素，并与植物的生长发育具有密切的关系。了解土壤质地状况，根据土壤类型选择合适的作物进行种植，并能根据土壤的质地状况对

土壤机械组织即颗粒组成，也称为土壤质地，是按土壤中不同粒径颗粒相对含量的组成部分划分的粗细度，土壤中不同大小直径的矿物颗粒的组合状况，是土壤物理性质之一。土壤机械组织与土壤通气、保肥、保水状况及耕作的难易有密切关系；土壤机械组织状况是拟定土壤利用、管理及改良措施的重要依据。

### 3.1.1 测定意义

### 3.1 阴山北麓表土机械组层的测定及分析

## Origin. 0 纹计分析。

阴山北麓表土采样所涉及到的土地利用类型主要为耕地(包括耕地、免耕地、退耕地和已翻耕地)、林地(包括人工林地、林地)、草地和灌丛。对各土壤样品进行PH值、有机质含量、机械组成、碳酸钙含量、水溶性盐量的测定。据实验数据,对相同土地利用类型土壤各理化性质数据进行平均,利用软件

### 3. 阳山北麓表土理化性质的测定及分析

用类型土壤各理化性质数据进行平均，利用软件 Origin 6.0 统计分析，见图 3-1-1。该研究区土壤机械组测定结果见表 3-1 所示。据实测所得，对相同土地利

### 3.1.5 阴山北麓表土土壤机械组的统计分析

图 3-1-1 测定土壤机械组实验照片



称取过 1mm 筛的风干土样（已去除有机质残体）50 克，置于 250mL 坩埚中，加浓度为 0.5mol/L 的六偏磷酸钠 60mL，再加入适量的蒸馏水定容，用电热板上加热至沸腾，用蒸馏水完全洗入 1000mL 量筒中，并用蒸馏水定容至刻度。抽样按吸管法测定方法进行，抽样深度为 8cm，每次抽样量为 25mL。将抽取的液样置于小烧杯内加热蒸煮到一定程度后，置于烘箱内烘干，最后取出冷却，在精度为 0.0001g 的电子天平上称重，减去烧杯重即为烧杯中干物质重，用每次抽取所得干物质重，通过计算可得相应粒径段上的质量百分含量。实验照片见图 3-1-1。

### 3.1.4 测定过程

沉降至该深度所需要的時間，用吸管抽取悬液 20-25mL，烘干、称重、便能计算出小于该粒径土粒的含量。因此，在给定深度和不同时间吸液，便可以将不同粒径的土粒分离并计算其百分含量。

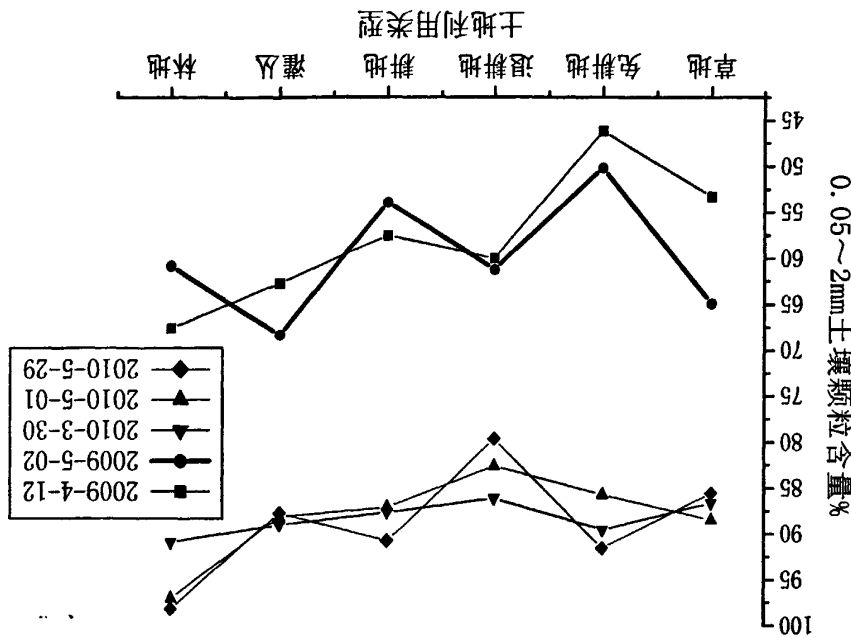
表 3-1 阴山北麓表土土壤机械组分测定数据

样点 序号	土地 利用 类型	2009-4-12		2009-5-2		采 样 时 间 (粒度组成比例%)		2010-3-30		2010-5-1		2010-5-29		
		>2mm 0.05 ~2mm 0.05mm	< 0.002~ 0.002mm	>2mm 0.05~ 2mm 0.05mm	< 0.002~ 0.002mm	>2mm 0.05 ~2mm 0.05mm	< 0.002~ 0.002mm	>2mm 0.05~ 2mm 0.05mm	< 0.002~ 0.002mm	>2mm 0.05 ~2mm 0.05mm	< 0.002~ 0.002mm	>2mm 0.05~ 2mm 0.05mm	< 0.002~ 0.002mm	
1-1	草地	41.13	38.7	13.05	7.12	15.05	61.63	15.74	7.58	6.06	93.26	0.47	0.23	
1-2	草地	---	---	---	---	---	---	11.69	62.94	16.47	8.71	21.19	77.96	0.62
2-1	免耕地	29.28	46.11	12.79	11.81	26.53	50.14	12.05	11.28	9.56	89.56	0.54	0.35	
2-2	退耕地	15.85	58.53	11.39	14.23	14.57	57.66	14.18	13.59	10.76	88.42	0.47	0.36	
2-3	已翻耕	13.91	56.6	14.47	16.02	30.07	44.95	13.62	11.35	12.6	86.5	0.58	0.33	
2-4	已翻耕	---	---	---	---	24.23	46.39	18.76	10.61	7.88	90.94	0.81	0.37	
2-5	退耕地	---	---	---	---	7.5	61.29	18.55	12.66	10.13	88.84	0.67	0.37	
2A-1	耕地	---	---	---	---	13.79	70	6.27	9.94	16.09	83.2	0.4	0.31	
2A-2	耕地	---	---	---	---	10.92	66.03	13.51	9.54	23.26	75.99	0.46	0.31	
3-1	草地	7.81	70.85	9.83	11.61	10.23	70.06	9.58	10.13	16.96	82.32	0.42	0.3	
3-2	退耕地	20.94	61.43	8.01	9.62	21.89	59.11	9.43	9.57	15.02	84.35	0.34	0.29	
3-3	草地	---	---	---	---	27.51	54.1	9.46	8.93	21.67	77.66	0.38	0.28	
4-1	耕地	18.6	58.52	11.96	10.98	35.08	48.05	7.76	9.11	13.88	85.41	0.4	0.3	
1-2	灌丛	20.87	60.13	10.55	8.44	8.87	67.38	13.3	10.45	9.23	90.04	0.44	0.29	
5-1	灌丛	21.06	65.23	5.23	8.47	17.13	69.18	5.86	7.83	11.32	88.06	0.34	0.28	
5-2	林地	16.91	66.67	7.64	8.78	29.86	53.58	11.27	5.48	0	99.38	0.38	0.24	
5-3	耕地	18.64	65.3	6.67	9.39	11.04	70	8.99	9.96	10.77	88.67	0.28	0.28	
6-1	草地	29.56	50.3	11.63	8.52	9.34	67.95	12.4	10.3	6.93	92.29	0.49	0.28	
6-2	草地	---	---	---	---	1.5	73.17	15.4	9.93	3.72	95.53	0.44	0.31	
												7.59	91.59	
												0.51	0.51	
												5.71	93.32	
												0.61	0.35	

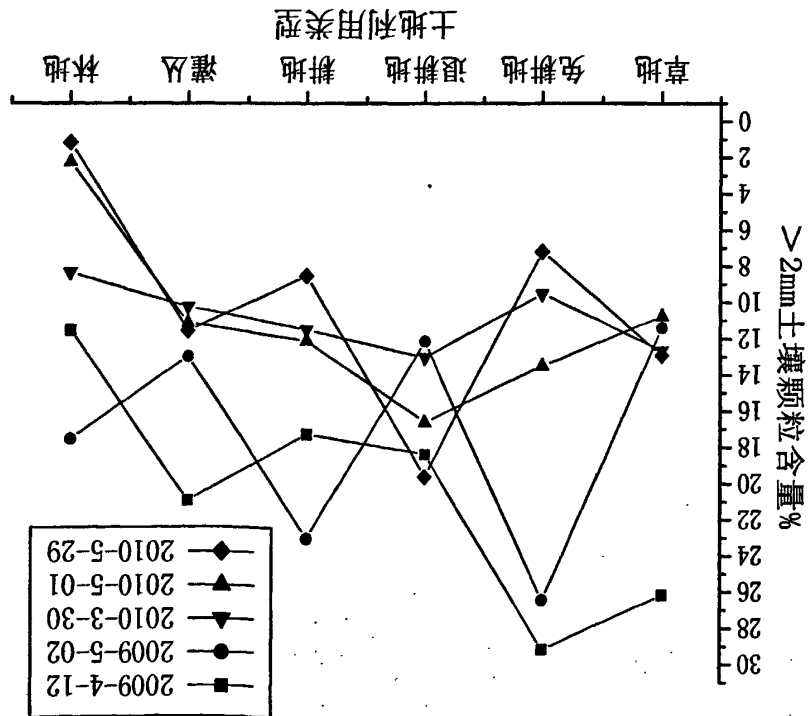
### 第三章 阴山北麓表土理化性质的测定及分析

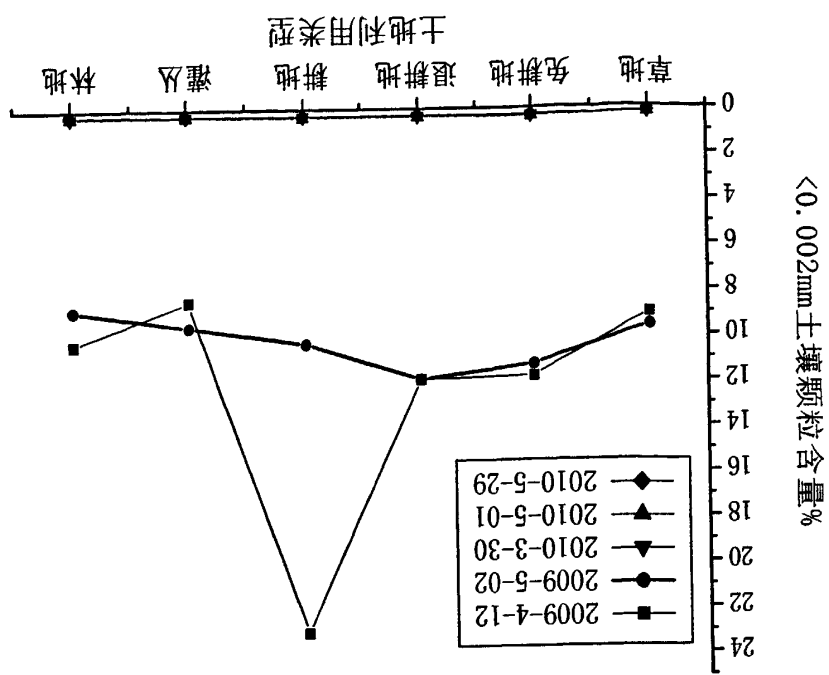
7—1	耕地	24.49	51.48	13.46	10.57	15.65	60.52	14.28	9.54	7.79	91.32	0.57	0.32	6.84	22.39	0.46	0.31	4.86	94.26	0.55	0.33			
7—2	耕地	6.22	56.42	13.46	11.89	14.81	61.75	13.3	10.15	1.89	97.42	0.38	0.31	3.79	95.31	0.59	0.31	1.88	97.49	0.36	0.27			
8—1	草地	—	—	—	—	—	—	—	10.27	64.37	15.46	9.9	5.69	93.61	0.43	0.27	17.29	82.12	0.33	0.26	8.93	90.36	0.47	0.24
8—2	草地	—	—	—	—	—	—	7.62	61.7	20.14	10.54	44.59	54.64	0.52	0.26	16.66	82.58	0.5	0.26	1.06	90.06	8.64	0.25	
9—1	退耕地	—	—	—	—	—	—	4.64	66.71	16.83	11.82	16.35	82.85	0.48	0.32	22.13	77.12	0.5	0.25	24.2	74.98	0.51	0.3	
9—2	耕地	—	—	—	—	—	—	3.55	66.37	18.13	11.95	4.18	95.02	0.53	0.27	2.14	97.02	0.56	0.28	3.59	95.52	0.64	0.26	
10—1	草地	—	—	—	—	—	—	10.48	69.9	10.77	8.85	3.42	96	0.33	0.25	6.34	93.09	0.35	0.22	7.81	91.47	0.46	0.25	
10—2	草地	—	—	—	—	—	—	17.81	61.92	11.58	8.69	4.84	94.51	0.4	0.25	3.14	96.23	0.4	0.22	5.01	94.47	0.28	0.24	

(b) 不同土地利用类型 0.05~2mm 的土壤颗粒含量对比

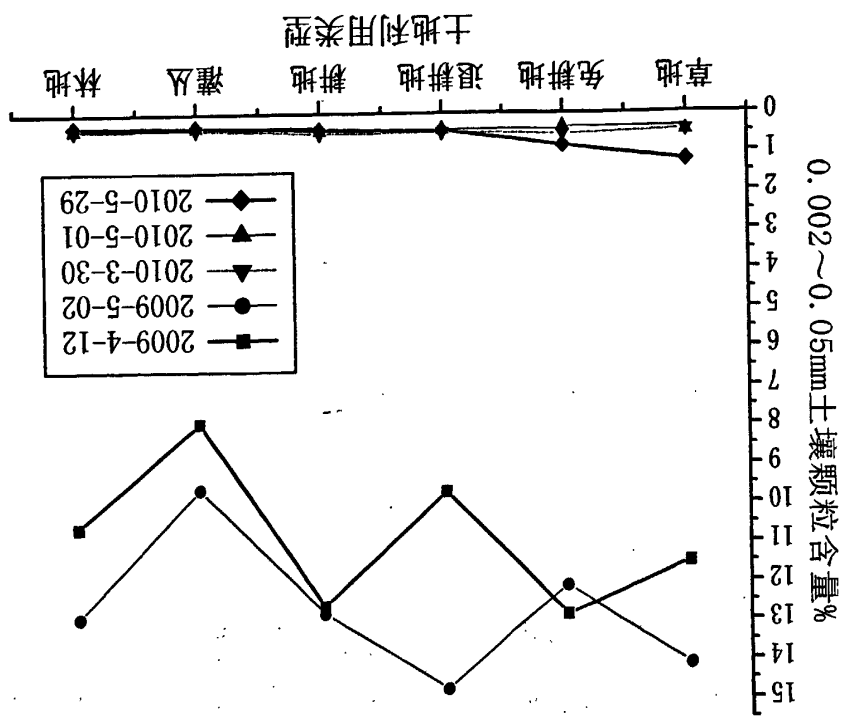


(a) 不同土地利用类型大于 2mm 的土壤颗粒含量对比





(c) 不同土地利用类型 0.002~0.05mm 的土壤颗粒含量对比



土壤酸碱性是土壤的主要属性之一，土壤的 pH 值是各种土壤的基本性质，它对土壤肥力有较大的影响，对土壤中各种微生物的活动、有机质的分解、营养

### 3.2.1 测定意义

### 3.2 阿山土壤表土 pH 值的测定及分析

微量元素受土壤利用类型的影响较小。

土壤的机械组成与气温、大风、降水、微生物活动、植被和人为干扰等多种因素有关。春季，耕地表土裸露，风蚀严重，小于2mm的小粒径土壤颗粒易被吹蚀，比例如小，大于2mm土壤颗粒比例相对增加，而其它土地利用类型由于植被的覆盖，减弱了强风的作用，故小于2mm土壤颗粒比例变化不明显。各土壤粒径的颗粒，小于0.002mm土壤颗粒含量相近，说明粒径小于0.05mm土壤颗粒0.002~0.05mm，说明粒径小于0.002mm土壤颗粒含水量相近，说明粒径小于0.05mm土壤颗粒。

由图 3-1(d) 所知，同一份中不同采样时间的数据曲线较为吻合。2009 年两次采样不同土地利用类型表土粒径小于 0.002mm 的土壤颗粒含量均在 10%左右。而耕地中第一次采样明显高于第二次采样比例，是受到翻耕影响。2010 年三次采样数据极近，均在 1%以下。变化较小的原因是粒径大于 0.002mm 的土壤颗粒易被吹蚀，小于 0.002mm 的颗粒黏着性强很难被吹动。

粒径 0.002~0.05mm 的土壤颗粒含量也相差不大。

由图 3-1(c)所示, 2009 年两次采样阴山北麓表土粒径  $0.002\sim0.05mm$  的土壤颗粒含量在 8%~15%。2010 年三次采样数据颗粒为接近, 均在 2%以下。两年的采样数据相差 10%左右。横向上年分析, 2010 年三次采样各土地利用类型表土粒径 0.002~ $0.05mm$  的土壤颗粒含量为相近, 2009 年两次采样各土地利用类型表土。

2mm 的土壤颗粒含量约 20%。

由图 3-1(b) 所知，同一份不同采样时间的各土地利用类型表土粒径 0.05~0.5mm 的土壤颗粒含水量相差不大。2009 年两次采样数据显 示，粒径 0.05~2mm 的土壤颗粒含水量最低的是免耕地 (45~55%)，较高的 是灌丛和林地，都在 60% 以上。2010 年的三次采样数据都较为接近，其中草地和灌丛的三次采样数据最 为接近。通过 2009 年和 2010 年的数据对比发现，同一土地利用类型粒径 0.05~

由图 3-1(a)所示,五次采样数据对比,各土地利用类型粒径大于 2mm 的土壤颗粒比例如图 3-1(b)所示。同—土地利用类型,2009 年的两次采样数据相比较,2010 年的三次采样数据相较小。由于采样时间正值春季,地表升温,土壤开始融化,大风增多,加之地表裸露,大于 2mm 的土壤颗粒很容易被吹走。

图 3-1 阴山北麓不同土地利用类型与土壤机械组形成关系

(d) 不同土地利用类型( $0.002\text{mm}$  的土壤颗粒含量对比)

土壤 pH 值是土壤中重要的物理化学性质之一，可以用蒸馏水将土壤进行处理，用 pH 试纸测定土壤的 pH 值，常用的 pH 试纸为玻璃电极，参比电极和酸化银电极。当上述两种电极插入待测液中时，即构成了电极电池，由于参比电极的电位是固定的，两者间产生的电位差的大小是由溶液中的反应。由于参比电极的电位是固定的，根据测得的电位差和参比电极的电位，可求出 pH 试纸电极溶液的浓度。根据参比电极的电位与溶液 pH 值的直线关系，算出溶液的 pH 值。再根据指示电极的电位与溶液 pH 值的直线关系，算出溶液的 pH 值，一概可直接从酸度计上读得 pH 值。

本实验室工作中使用的设备有：pH 计是 PHS-25 型（数显）；pH 复合电极 E-201-C 型。此复合电极是由玻璃电极和参比电极组合而成的，用于测量水溶液的 pH 值，是 pH 值测量元件。此套设备测量 pH 值的范围是 0-14，响应时间为 2 分钟，被测溶液的温度适宜范围是 0-60°C。

### 3.2.4 测定过程

称取通过 1 厘米筛孔的风干土样 10 克，放入 50 毫升的小烧杯中，加无二氯化铁蒸馏水 10 毫升，振荡 3 分钟，静置半小时，使土壤充分分散。将复合电极放入蒸馏水 10 毫升，振荡半分钟，记录读数。每测完一个样品，都要用蒸馏水将电极表面洗净，并用滤纸轻轻将电极吸附的水吸干，然后再测定第二个样品。测定 5—6 个样品后，应该用 pH 标准缓冲液校正一次电位计的读数。实验照片见图 3-2-1。

### 3.2.3 电位法原理

土壤 pH 值是土壤中重要的物理化学性质之一，可以用蒸馏水将土壤进行处理，但不采用电位法精确。本研究采用电位法对土壤 pH 进行测定。0.5 克土，适用于野外速测，pH 标准溶液系列的比色法精确度较高，0.02 克的误差在比较低，pH 的误差在 0.02 左右；混合指示剂比色法精确度较差，pH 的误差在比较大，制成悬浊液测定。测定土壤 pH 通常用比色法和电位测定法，电位法精确度高，制成了悬浊液测定。测定土壤 pH 值常采用比色法和电位测定法，电位法精确度高，制成悬浊液测定。测定土壤 pH 值常采用比色法和电位测定法，电位法精确度高，

### 3.2.2 方法选择的数据

要求一定的 pH 值，并且 pH 值是常规分析中，其它许多项目分析方法选择的数据。元素的释放与转化、阳离子的代换吸收等都有密切的关系。各种植物的生长发育

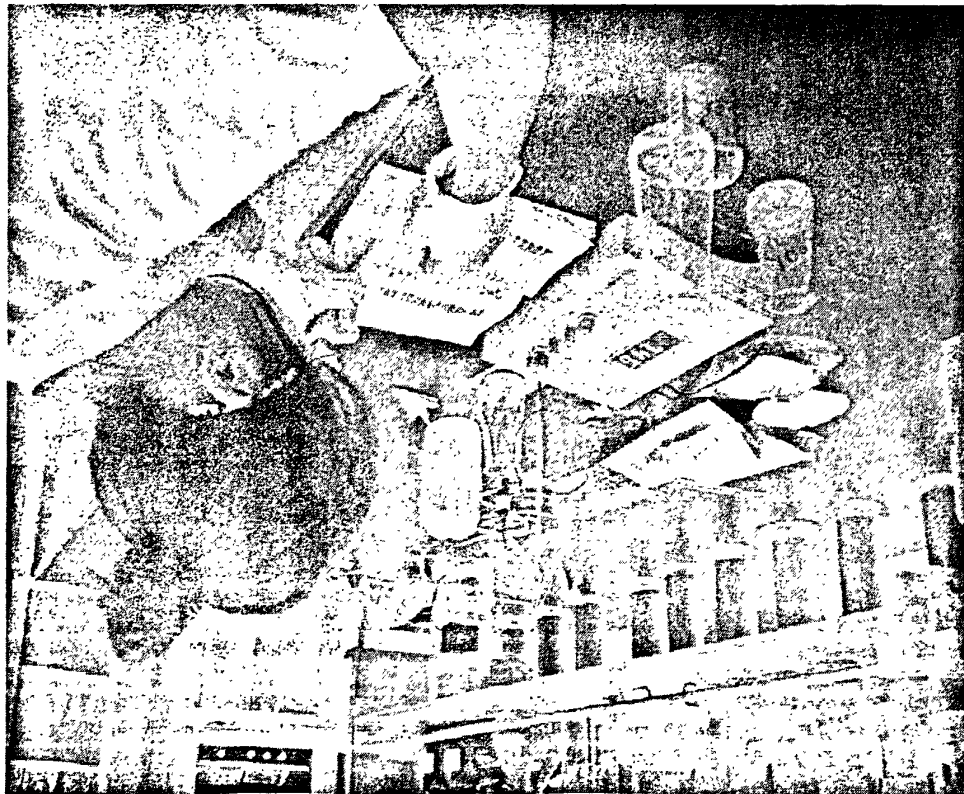
序号	采样点	土壤类型	采样时间 (pH值)	2009-4-12	2009-5-2	2010-3-30	2010-5-1	2010-5-29
1-1	草地	草地	7.16	7.26	7.35	7.7	7.2	
1-2	草地	草地	—	7.61	7.13	7.77	7.31	
2-1	免耕地	免耕地	7.74	7.87	7.46	7.84	7.33	
2-2	退耕地	退耕地	7.68	8.13	7.59	7.78	7.39	
2-3	已翻耕	已翻耕	7.85	8.04	7.65	7.75	7.44	
2-4	已翻耕	已翻耕	—	8.16	7.51	7.78	7.33	
2-5	退耕地	退耕地	—	8.14	7.66	7.95	7.35	
2A-1	耕地	耕地	—	8.13	7.34	8.08	7.62	
2A-2	林地	林地	—	7.88	7.43	8.24	7.43	
3-1	草地	草地	7.97	8.12	7.25	8.11	7.37	

表 3-3 阴山北麓表土土壤 pH 值测定数据

该研究区土壤 pH 值测定结果见表 3-3 所示。本次采样所涉及到的土地利用类型主要有耕地(包括耕地、免耕地、退耕地和已翻耕地)、林地(包括人工林地、林地)、草地和灌丛等。据实验所得, 对相同土地利用类型土壤各理化性质数据进行平均, 利用软件 Origin6.0 绘制分析, 见图 3-2。

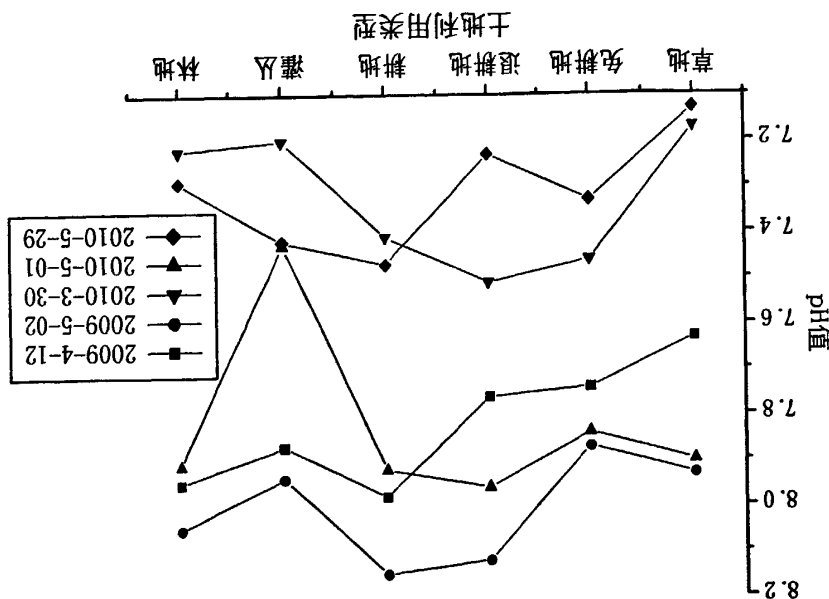
### 3.2.5 阴山北麓表土土壤 pH 值的统计分析

图 3-2-1 测定土壤 pH 值实验照片



该研究区土壤 pH 值 7.0~8.2，呈碱性。由图 3-2 可知，对于同一年份中，前一次采样表土 pH 值小于后一次，是因为采样前一天刚下过雨，表土中的盐分被淋溶，较多的盐分随着土壤水分被带到上层，增加了土壤的 pH 值。而 2010 年 5 月 29 日采样点 pH 值小于前两次，是因为采样前一天刚下过雨，表土中的盐分被淋溶。

图 3-2 阳山北麓不同土地利用类型与土壤 pH 值关系

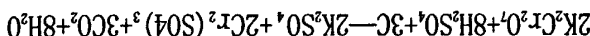
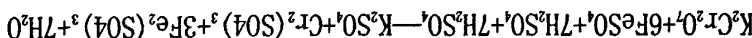


	草地	旱耕地	灌木林地	草地	旱耕地	灌木林地	草地	旱耕地	灌木林地	草地
10-2	—	—	—	6.93	7.9	6.76	—	—	—	6.76
10-1	草地	—	—	6.93	7.88	6.8	—	—	—	6.8
9-2	草地	—	—	6.85	7.86	6.86	—	—	—	6.86
9-1	灌木林地	—	—	7.14	7.89	6.79	—	—	—	6.79
8-2	草地	—	—	6.95	7.9	6.75	—	—	—	6.75
8-1	草地	—	—	6.93	7.9	6.92	—	—	—	6.92
7-2	人工林地	8	8.14	7.19	7.87	7.23	—	—	—	—
7-1	耕地	8.16	8.25	7.32	7.86	7.34	—	—	—	—
6-2	草地	—	7.84	7.48	7.76	7.4	—	—	—	—
6-1	草地	7.77	7.82	7.4	7.73	7.56	—	—	—	—
5-3	耕地	8.12	8.21	7.11	7.72	7.44	—	—	—	—
5-2	林地	7.87	8.01	7.03	7.62	7.22	—	—	—	—
5-1	灌木林地	7.84	7.86	7.17	7.55	7.41	—	—	—	—
4-2	草地	7.95	8.01	7.23	7.31	7.42	—	—	—	—
4-1	耕地	8.08	8.21	7.72	8.32	7.62	—	—	—	—
3-2	灌木林地	—	—	—	—	—	—	—	—	—
3-3	草地	—	—	—	—	—	—	—	—	—
3-1	草地	—	—	—	—	—	—	—	—	—

第三章 阳山北麓土壤理化性质的测定及分析

用分析天平准确称取过孔筛的土样 0.2g 左右，放入干燥的玻璃试管中。用

### 3.3 测定过程



定时的化学反应式如下：

故测定期结果还应乘以校正系数  $100/90=1.1$ 。即算出土壤有机质含量。氧化和滴成有机质则应乘  $100/58=1.742$ 。另外，由于该方法对土壤有机质的氧化约为 90%。出土壤中有机碳的百分含量。一般来说，土壤有机质平均含碳量为 58%，要换算出土壤中有机碳的重量，从而计算出反映了重铬酸钾的重量，最终计算量，计算出中和的重铬酸钾的量，从而计算出反映了重铬酸钾的量，由消耗的硫酸亚铁的用量减去铁溶液进行滴定，由邻菲啰啉或二苯胺作为指示剂，由消耗的硫酸亚铁的量加热，过量的强氧化性溶液将土壤中的有机质，反应后的多余重铬酸钾溶液，也是俗称的过热法。原理是用配置好的重铬酸钾-硫酸溶液，在 170-180℃条件下加热，过量的强氧化性溶液将土壤中的有机质，反应后的多余重铬酸钾溶液，对土壤有机质含量的测定通常采用的方法是：重铬酸钾-硫酸溶液-油浴法，

### 3.2 方法原理

及农林业可持续发展等方面都有着极其重要的意义<sup>[30]</sup>。

土壤有机质的多少，是土壤肥力高低的一个重要指标，对土壤形成、土壤肥力、环境保护起着重要作用，尽管土壤有机质的含量只占土壤总量的很小一部分，土壤有机质会形成部分，中等类型的微生物的必不可少的能源和能源物质。土壤有机质是土壤固相部分的重中等类型的微生物的必不可少的能源和能源物质。土壤有机质是土壤固相部分的重量的多少，是土壤肥力高低的一个重要指标，对土壤形成、土壤肥力、环境保

### 3.3 测定意义

#### 3.3.1 阴山北麓表土有机质含量的测定及分析

植被和人为干扰等多种因素共同作用的。

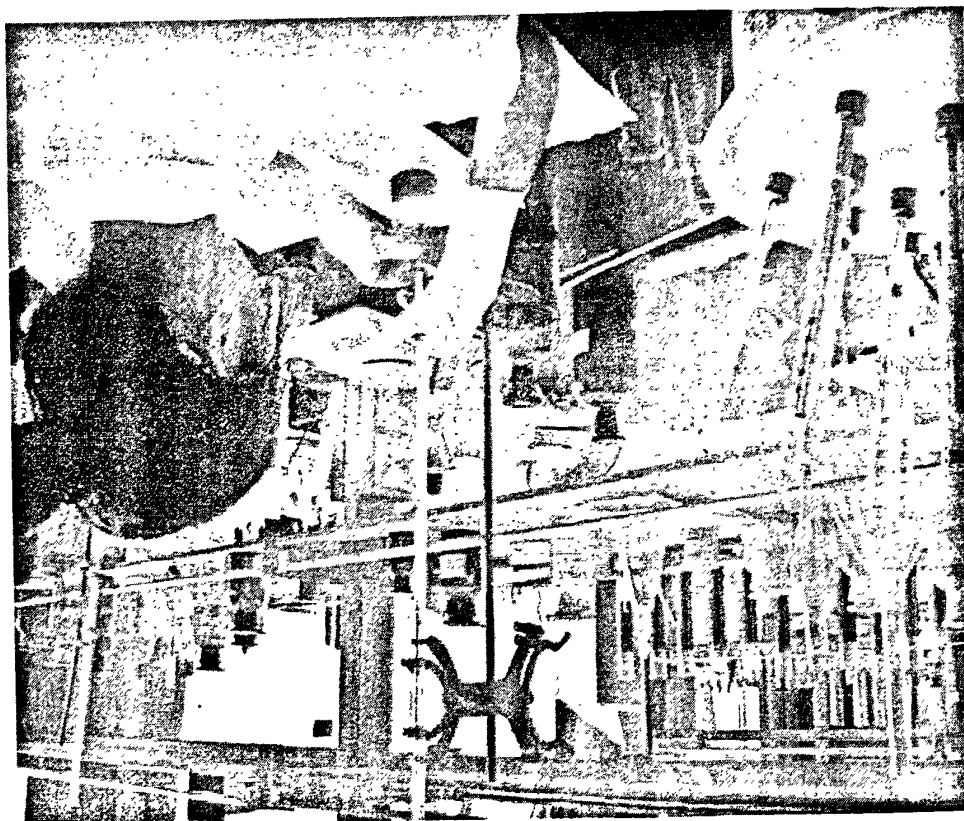
比较连续两年的五次采样数据，不同土地利用类型同一采样表土 pH 值相差不大，不同采样时间表土 pH 值的差异，是由气温、大风、降水量、微生物活动、植被覆盖率较小，故 pH 值较低，说明了土壤水分的蒸发，加之枯草层的存在，可以涵养水分，故 pH 值最低。

同样，灌丛、林地由于生长时间较短，植被覆盖率较高，种类和数量相对较少，植被覆盖率较低，故 pH 值仅次于耕地，草地植被覆盖率较高，增加了土壤水分的蒸发，反之亦然。四、五月份耕地表土裸露，土壤水分蒸发相对较强，故 pH 值最高，反之亦然。表土 pH 值偏低，随之带到上层的盐分就越多，增加了表土的 pH 值介于草地和耕地之间。这主要与各土地利用类型的植被盖度有关，植被盖度介于草地和耕地之间。表土 pH 值偏高，而灌丛和林地的表土 pH 值偏高，反之亦然。因此降低了表土的 pH 值。

该研究区土壤有机质测定结果见表 3-4 所示。本次采样所涉及到的土地利用类型主要有耕地(包括耕地、免耕地、退耕地和已翻耕地)、林地(包括人工林地、林地)、草地和灌丛等。据实验所得, 对相同土地利用类型土壤各理化性质数据进行平均, 利用软件 Origin 6.0 绘制分析, 见图 3-3。

### 3.3.4 阴山北麓表土土壤有机质的统计分析

图 3-3-1 测定土壤有机质含量实验照片



照片见图 3-3-1。

将试管内容物用蒸馏水洗入三角瓶中, 瓶内总体积不要超过容积的 1/3, 加入 2~3 滴邻菲罗啉指示剂, 用 0.2mol/l FeSO<sub>4</sub>滴定, 将溶液由蓝色变绿再变到棕色即为终点, 记录读数。同时做空白试验, 加石英砂, 防止暴沸。实验取出试管, 洗净后擦净管外油液。

把试管插入铁丝笼中并放入预先加热至 180~190°C 的油浴锅中, 此时油温下降至 170~180°C, 保持此温度。当试管内容物开始沸腾时, 计时煮沸 5 分钟。

滴定管准确加入 0.068mol/l KCrO<sub>4</sub>, 0.10ml, 轻轻摇动试管, 使管内土样分散。在试管口加一小漏斗, 以冷凝蒸出之水汽。

滴定管准确加入 0.068mol/l KCrO<sub>4</sub>, 0.10ml, 轻轻摇动试管, 使管内土样分散。在试

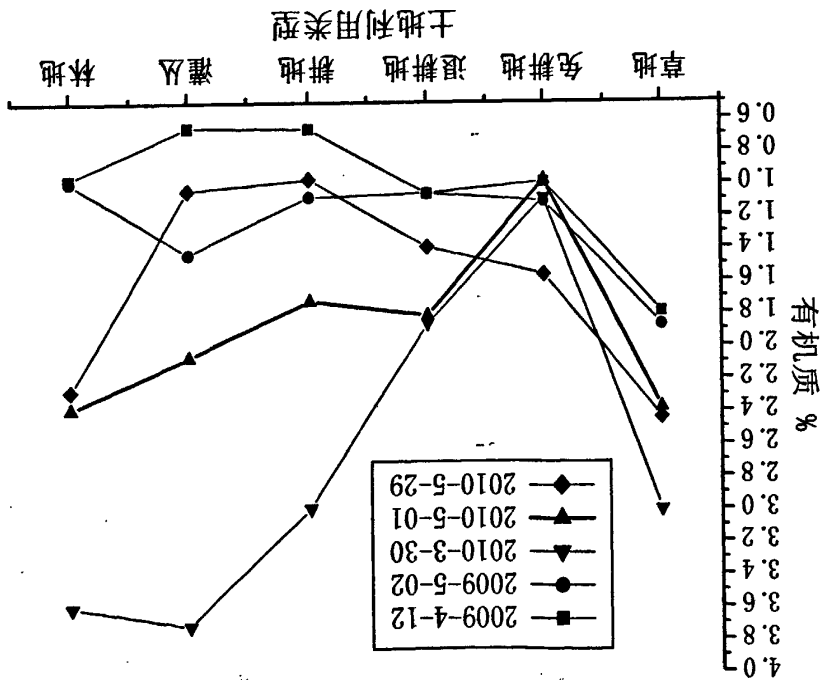
表 3-4 阿山北麓表土壤有机质测定数据

样点 序号	土地 利用 类型	采样时间 (有机质%)				
		2009-4-12	2009-5-2	2010-3-30	2010-5-1	2010-5-29
1-1 草地	草地	3.72	2.81	6.04	5.24	2.46
1-2 草地	草地	—	—	—	—	—
2-1 草地	草地	0.99	1.11	4.84	4.18	5.04
2-2 草地	草地	1.36	1.13	1.09	0.98	1.56
2-3 巴翻耕	草地	0.82	0.99	1.55	1.31	1.11
2-4 巴翻耕	草地	—	—	1.30	2.72	2.12
2-5 巴翻耕	草地	—	—	1.31	2.16	1.62
2A-1 耕地	耕地	—	0.97	2.76	0.85	0.38
2A-2 耕地	耕地	—	—	1.16	5.40	0.91
3-1 草地	草地	0.46	1.77	0.42	1.35	1.08
3-2 草地	草地	0.76	0.46	1.49	0.97	2.03
3-3 草地	草地	—	—	0.74	2.12	1.10
4-1 耕地	耕地	0.55	0.73	6.50	1.42	0.60
4-2 草地	草地	0.84	0.77	5.90	3.10	1.01
5-1 林地	林地	0.46	0.93	1.50	1.01	1.06
5-2 林地	林地	0.94	0.95	3.37	5.23	3.40
5-3 耕地	耕地	0.95	0.95	1.70	2.07	1.20
6-1 草地	草地	1.19	0.93	0.83	2.49	3.25
6-2 草地	草地	1.19	0.95	0.95	2.07	1.03
6-3 耕地	耕地	1.19	0.94	0.94	2.49	3.25
7-1 耕地	耕地	1.09	1.47	1.47	1.37	1.45
7-2 人工林地	人工林地	0.99	1.09	1.09	1.12	1.14
8-1 草地	草地	—	—	1.07	1.78	3.87
8-2 草地	草地	—	—	1.05	2.70	2.11
8-3 耕地	耕地	—	—	1.35	2.70	2.39
9-1 草地	草地	—	—	1.68	1.60	1.06
9-2 草地	草地	—	—	1.35	1.69	2.38
9-3 耕地	耕地	—	—	1.68	2.12	2.17
10-1 草地	草地	—	—	1.42	1.74	2.93
10-2 草地	草地	—	—	1.33	1.86	2.46

作物生长等都会直接影响表土的有机质含量。林地表土有机质含量变化较大。耕地主要是受人为因素的影响，如施肥农艺肥、土地深耕、农作物五次采样数据分折，草地、免耕地和退耕地表土有机质含量变化不大，耕地、灌丛和林地表土有机质含量变化较小。耕地利用类型PH值较高，减弱了微生物对动植物残体的分解作用，而其它土地利用类型PH值较低，有利于动植物残体的分解，从而提高了土壤有机质含量。微生物的数量及其活性，有利于动植物残体的分解，从而提高了土壤有机质含量。分析，草地的PH值最接近中性，为微生物提供了较为适宜的生存环境，提高了微生物的分解，为土壤提供了有机质。结合前面对不同土地利用类型土壤PH值的分析，是因为草地上枯草层和林下枯枝落叶层中动植物残体相对较多，微生物的分解，为土壤提供了有机质。结合前面对不同土地利用类型土壤PH值的分析，草地利用类型，是因为草地土壤中动植物残体相对较少，微生物的分解，为土壤提供了有机质。结合前面对不同土地利用类型土壤PH值的分析，草地利用类型，是因为草地土壤中动植物残体相对较少，微生物的分解，为土壤提供了有机质。

该研究区土壤有机质含量偏低为0.4~4.0%。其中，草地有机质含量最高为1.8~3.2%，免耕地和退耕地有机质含量最低（图3-3）。

图3-3 阴山北麓不同类型土地利用与土壤有机质含量关系



序号	采样点	土地利用类型	采样时间(碳酸钙%)	2009-4-12	2009-5-2	2010-3-30	2010-5-1	2010-5-29
1-1	草地	——	1.07	1.71	2.56	2.66	0.20	
1-2	草地	——	2.19	0.79	1.61	0.21		
2-1	免耕地	1.02	2.04	0.38	2.53	0.35		
2-2	退耕地	1.13	2.27	0.33	2.32	0.66		
2-3	已翻耕	1.02	2.19	0.60	2.44	0.43		
2-4	已翻耕	4.91	1.24	3.75	1.37	2.02	0.72	
2-5	退耕地	——	6.20	1.24	3.04	3.44	0.35	
2A-1	耕地	——	——	3.75	3.84	3.28	4.55	3.03
2A-2	林地	——	——	——	——	——	——	——

表 3-5 阴山北麓表土膜限酶活性测定数据

该研究区土壤膜限酶活性测定结果见表 3-5 所示。本次采样所涉及到的土地利用类型主要有耕地(包括耕地、免耕地、退耕地和已翻耕地)、林地(包括人工林地、林地)、草地和灌丛等。据实测所得, 对相同土地利用类型土壤各理化性质数据进行平均, 利用软件 Origin 6.0 统计分析, 见图 3-4。

### 3.4.3 阴山北麓表土膜限酶活性统计分析

土壤膜限酶含量的测定方法, 通常使用的是气量法。其原理是利用土壤中的膜限酶与过量盐酸的作用, 生成二氧化碳。在一定温度和气压下, 二氧化碳气体具有一定比例, 从比重表中查出单位体积二氧化碳气体的重量, 即可算出土膜限酶的含量; 或者绘制标准曲线, 根据土样所产生的二氧化碳气体的体积, 在标准曲线上直接查出土膜限酶的重量, 最终计算出土膜限酶的百分含量。

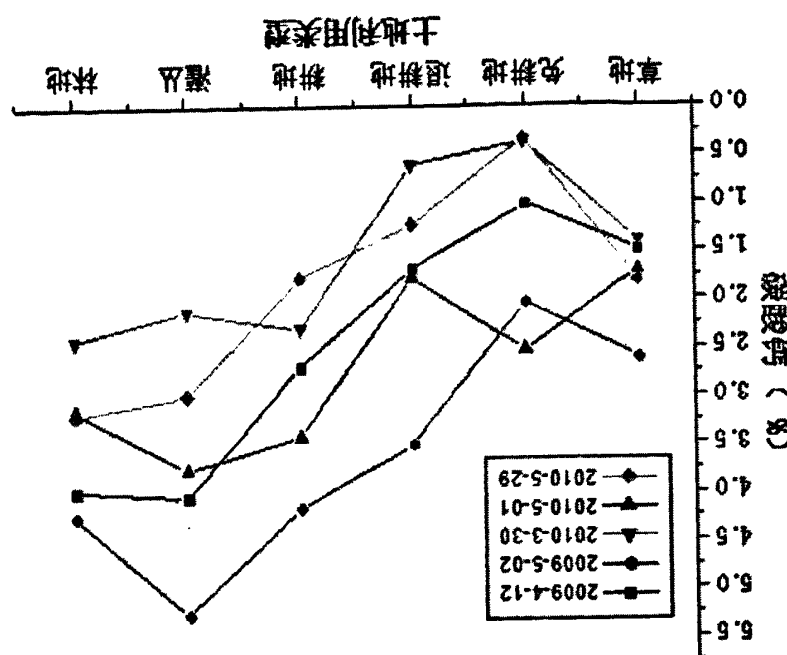
### 3.4.2 测定原理

6.5-8.5。同时, 在分析盐碱土中, 测定膜限酶也是一个重要项目。因此, 随着土壤中膜限酶和有机质含量的变化, 石灰性土壤的 pH 值常在 pH 值。但土壤有机质分解时产生 CO<sub>2</sub>, 则可使膜限酶转化为重碳酸盐, 降低土壤溶液的 pH 值。随着 pH 值的降低, 土壤膜限酶含量的增加, 土壤 pH 值也随之降低。进而指称之 [8]。土壤 pH 值与膜限酶含量有密切关系。当 pH 值在 6.5 以上时, 就可能有极少量游离的膜限酶; 随着膜限酶含量的增加, 土壤 pH 值也随之降低。通常以 CaCO<sub>3</sub> 在剖面中的淋溶和溶解状况作为判断土壤形成、分类和肥力特征, 土壤 CEC 的一个主要指标。对于石灰性土壤 (以 Ca<sup>2+</sup>、Mg<sup>2+</sup> 为主, 如黄绵土) 来说, 土壤特性的一个重要指标。对于石灰性土壤 (以 Ca<sup>2+</sup>、Mg<sup>2+</sup> 为主, 如黄绵土) 来说, 土壤 CEC 含量影响土壤的发生发展程度、土壤膜限酶 (pH 值)、养分元素的形态和有效性、CEC 及吸附阳离子的种类、土壤结构及其微生物区系, 是存在形态和有效性的主要指标。

## 3.4 阴山北麓表土膜限酶含量的测定及分析

由图3-4可知，该研究区土壤缺镁钙含量0.3~5.5%。灌丛、林地土壤缺镁

图3-4 阴山北麓不同土地利用类型与土壤缺镁钙(%)关系



	草地	耕地	混耕地	灌丛	林地	草地	耕地	混耕地	灌丛	林地
3-1	1.69	2.83	2.19	3.28	2.99	—	—	—	—	—
3-2	2.22	2.80	0.46	2.37	3.31	2.22	2.80	0.46	2.37	3.31
3-3	—	—	—	—	—	2.30	1.14	2.95	0.82	3.31
4-1	4.20	4.25	2.54	4.69	4.47	4.20	4.25	2.54	4.69	4.47
4-2	5.18	6.13	3.87	6.89	1.75	5.18	6.13	3.87	6.89	1.75
5-1	2.85	4.37	1.70	2.80	1.49	2.85	4.37	1.70	2.80	1.49
5-2	3.42	5.25	2.37	2.96	4.56	3.42	5.25	2.37	2.96	4.56
5-3	5.11	6.06	2.65	2.38	2.22	5.11	6.06	2.65	2.38	2.22
6-1	1.70	2.70	1.19	0.57	1.40	1.70	2.70	1.19	0.57	1.40
6-2	—	—	0.29	0.87	9.16	—	—	0.29	0.87	9.16
7-1	3.70	4.80	2.38	2.75	2.93	3.70	4.80	2.38	2.75	2.93
7-2	4.25	3.90	1.58	1.87	1.98	4.25	3.90	1.58	1.87	1.98
8-1	—	—	1.21	1.31	1.42	—	—	1.21	1.31	1.42
8-2	—	—	5.81	1.87	0.55	—	—	5.81	1.87	0.55
9-1	—	—	0.27	0.35	0.60	—	—	0.27	0.35	0.60
9-2	—	—	0.31	2.99	0.98	—	—	0.31	2.99	0.98
10-1	—	—	0.46	1.18	1.18	—	—	0.46	1.18	1.18
10-2	—	—	0.49	1.00	1.00	—	—	0.49	1.00	1.00

第三章 阴山北麓表土理化性质的测定及分析

该研究区土壤水溶性盐测定结果见表 3-6 所示。本次采样所涉及到的土地利用类型主要有耕地(包括耕地、免耕地、退耕地和已翻耕地)、林地(包括人工林地、草地)、草地和灌丛等。据实验所得, 对相同土地利用类型土壤各理化性质进行评价, 利用软件 Origin 6.0 统计分析, 见图 3-5。

### 3.5.3 阴山北麓表土土壤水溶性盐量的统计分析

本研究采用漏斗法测定土壤水溶性盐量。具体实验过程: 用天平称取通过 1mm 筛的风干土样 10g, 放入 250mL 干净的三角瓶中, 随即加入蒸馏水 50mL, 插满 3min, 漏纸过滤, 漏液承接于干燥的小三角瓶中(若浑浊, 必须重复过滤直至清亮为止), 至全部滤完后, 将滤液烘干, 称重。滤去烧杯重即为烧杯中干物质量, 通过计算可得相应用土样的水溶性盐的百分含量。实验照片见图 3-5-1。

### 3.5.2 方法选择及测定过程

土壤水溶性盐是盐碱土的一个重要属性, 是限制作物生长的障碍因素。盐土中含大量水溶性盐类, 影响作物生长, 同一浓度的不同盐分危害作物的程度也不一样, 盐分中以硫酸钠的危害作用最大, 增加土壤酸度和恶化土壤物理性质, 使作物受害。其次是氯化物, 氯化物中又以  $MgCl_2$  的毒害作用较大, 另外, 氯离于和钠离于的作用也不一样。土壤中水溶性盐的分析, 是研究盐渍土盐分动态的最重要方法之一, 对了解盐分、对种子发芽和作物生长的影响以及制订改良措施都是十分必要的。

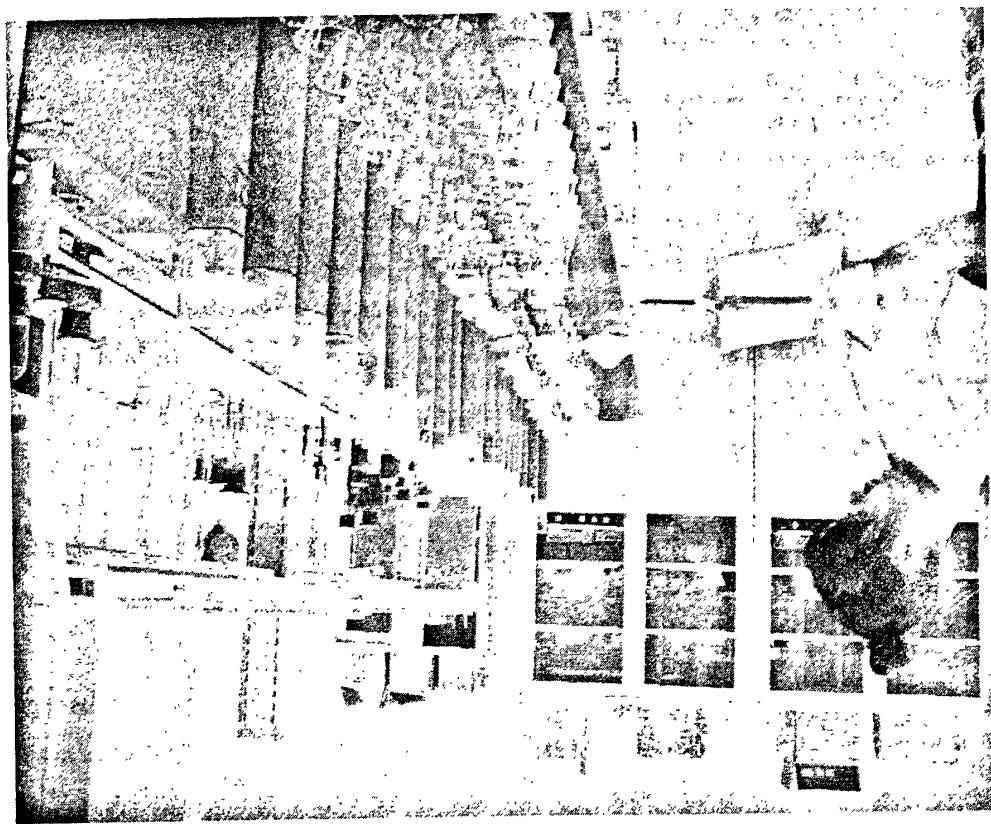
### 3.5.1 测定意义

### 3.5 阴山北麓表土水溶性盐量的测定及分析

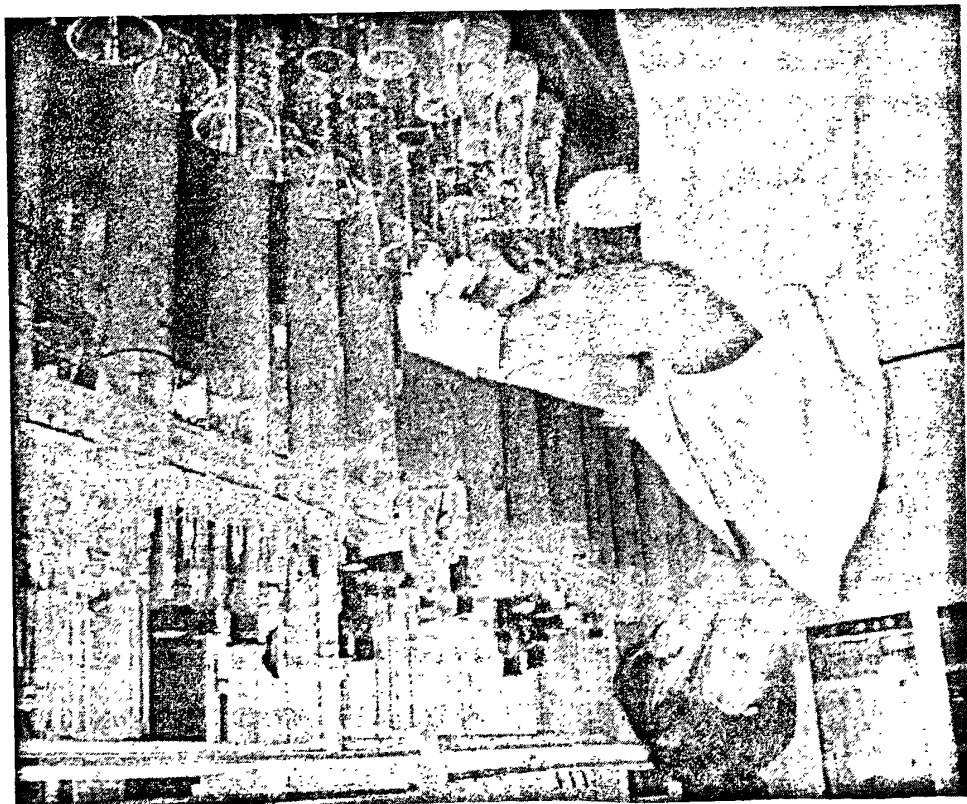
较为一致。

总体上说, 五次采样不同土地利用类型表土硫酸钙含量相差不大, 盐线走势较一致, 是因为春季气温不断升高, 加之大风的增多, 土壤水分蒸发相对较强, 故多的硫酸盐随着水分被带到上层, 增加了表土的硫酸钙含量。而 2010 年 5 月 29 日表土硫酸钙含量小于前两次, 是因为采样前一天刚下过雨, 表土中的硫酸钙被淋溶, 因此降低了表土的硫酸钙含量。

对于同一年份不同时间的采样数据进行分析, 前一次采样的表土硫酸钙含量比后一次低, 有机制质含量较高的土类, 对应的土壤硫酸钙含量较低, 反之亦然。结合图 3-3, 有机质含量较高的土类, 对应的土壤硫酸钙含量较低, 反之亦然。随着硫酸钙含量的增加, 土壤 pH 值也随之升高。此外, 土壤中有机制质分解产生较多的二氧化硫, 可使硫酸盐转化成重碳酸盐, 从而降低了土壤的 pH 值。由此, 结合该地区土壤 pH 值均在 7 以上, 故土壤中有硫酸钙存在。并且土壤中有机质含量密切相关。该地区土壤 pH 值均在 7 以上, 故土壤中有机质含量较低。原因是草地和灌丛对钙含量偏高, 草地、免耕地和退耕地土壤硫酸钙含量较低。原因是草地和灌丛对



(a)



第三章 明山非黏表土理化性质的测定及分析

3-6 阴山北麓表土壤水溶性盐量实验室数据

图3-5-1 测定土壤水溶性盐量实验照片

(b)

内蒙古师范大学土壤与植物生态学实验室

序号	采样点	土壤类型	2009-4-12	2009-5-2	2010-3-30	2010-5-1	2010-5-29
1-1	草地	0.069	0.067	0.070	0.090	0.026	
1-2	草地	—	0.068	—	0.067	0.103	0.066
2-1	兔耕地	0.032	—	—	0.034	0.081	0.066
2-2	退耕地	0.061	0.083	0.083	0.092	0.094	0.120
2-3	已翻耕	0.030	0.067	0.074	0.122	0.049	
2-4	已翻耕	—	0.063	0.056	0.101	0.056	
2-5	退耕地	—	0.048	0.049	0.059	0.087	
2A-1	耕地	—	0.051	0.082	0.062	0.062	
2A-2	林地	—	0.053	0.069	0.091	0.077	
3-1	草地	0.051	0.072	—	0.073	0.077	0.063
3-2	退耕地	0.054	0.051	0.072	0.069	0.061	
3-3	草地	—	0.062	0.091	0.115	0.048	
4-1	耕地	0.046	0.062	0.069	0.046	0.056	
4-2	灌丛	0.060	0.085	0.064	0.092	0.077	
5-1	灌丛	0.068	0.080	0.089	0.077	0.104	
5-2	林地	0.104	0.128	0.145	0.105	0.104	
5-3	耕地	0.076	0.080	0.114	0.114	0.079	
6-1	草地	0.068	0.043	0.100	0.119	0.092	
6-2	耕地	—	0.049	0.049	0.089	0.083	
7-1	耕地	0.073	0.087	0.107	0.098	0.109	
7-2	人工林地	0.085	0.091	0.119	0.109	0.118	
8-1	草地	—	0.041	0.099	0.260	0.117	
8-2	草地	—	0.055	0.090	0.259	0.136	
9-1	退耕地	—	0.047	0.096	0.258	0.052	
9-2	草地	—	0.078	0.129	0.294	0.075	
10-1	草地	—	0.073	0.116	0.275	0.079	
10-2	草地	—	0.072	0.102	0.250	0.120	

通过对阴山北麓不同土地利用类型（包括草地、耕地、退耕地、林地、灌丛等）表土连续两年春季的五次采样。对 27 个采样点的 400 多份样品，逐一用酸度计测定土壤 pH 值，红外法测定土壤有机质含量，吸管法测定土壤机械组成，气量法测定土壤碳酸钙含量，漏斗法测定土壤水溶性盐量。并对测定数据统计分析。

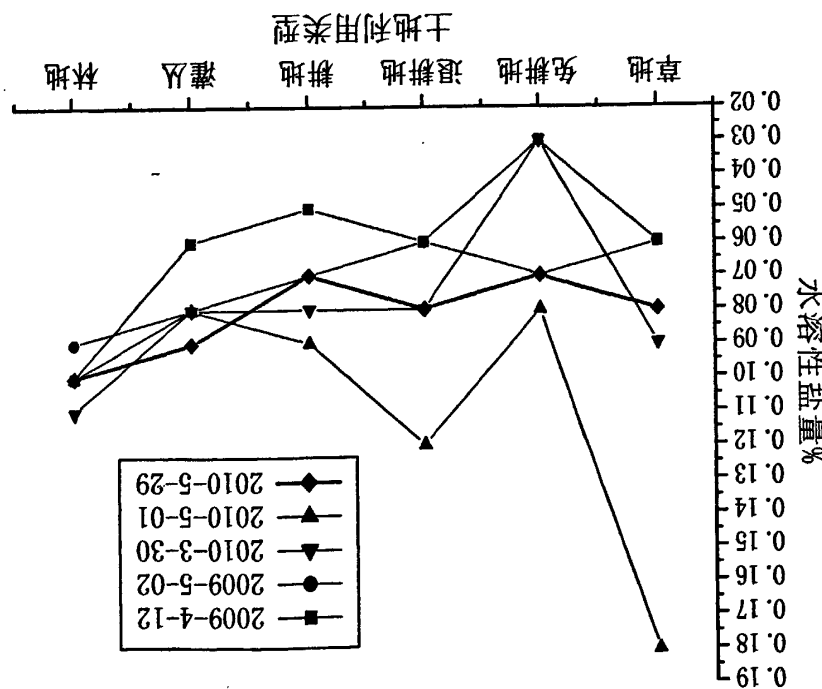
### 3.6 小结

比较五次采样数据，各土地利用类型表土水溶性盐量差异不大。尤其是林地和灌丛，表土水溶性盐量几乎一致。

图 3-5 可知，该研究区不同土地利用类型的表土水溶性盐量集中在 0.1% 以下，为非盐化土壤。免耕地表土水溶性盐量最低，林地土壤水溶性盐量偏高。

同一份中，后一次采样数据比前一次采样数据表土水溶性盐含量高，是由于气温升高，土壤水分蒸发强烈，土壤盐分随着土壤水分转移到达土壤表面，增加了土壤的水溶性盐量。2010 年 5 月 1 日采样，表土水溶性盐量数据最高，是因为春季气温回升，大风增多，加之近期内没有降雨，故表土水溶性盐含量增高，而 2010 年 5 月 29 日样品表土水溶性盐量较低，就是受到前一天降雨的影响。

图 3-5 阴山北麓不同土地利用类型与土壤水溶性盐量 (%) 关系



斯, 得出: 同一次采样中不同土地利用类型土壤机械组成、pH 值、有机质含量、碳氮  
养分量和水溶性盐量稍有差别。同一土地利用类型不同采样时间其理化性质也有  
差异。其原因是受气温、大风、降水、微生物活动、植被状况和人为干扰等多种  
因素共同影响的。

表 4-2 阴山样品测定成分表

阴山类型	$\text{Na}_2\text{O}$	$\text{MgO}$	$\text{Al}_2\text{O}_3$	$\text{SiO}_2$	$\text{K}_2\text{O}$	$\text{CaO}$	$\text{Fe}_2\text{O}_3$	$\text{Mn}$	$\text{Cu}$	$\text{Ti}$	$\text{As}$	$\text{Pb}$
3月非沙生灌	1.47	2.45	13.11	50	2.03	5.99	5.77	687	45.8	4050	14	422
4月非沙生灌	1.69	2.69	12.97	50.58	2.15	6.24	5.79	684	40	3990	11.5	394

注：算化物单位 ( $\times 10^{-2}$ )，微量元素单位 ( $\times 10^{-6}$ )。

阴山类型	1.01	1.14	23.94	36.22	0.7	5.52	5.19	570	83.4	6553	91.8	343
建筑生	1.66	2.63	12.31	23.72	0.66	30.37	1.99	862	27	728	13.5	26.8
交通生	2.18	2.25	11.27	46.41	1.94	8.35	5.245	522	42.8	3587	8.15	39.3
林地	1.69	1.60	12.81	59.85	2.47	2.06	4.27	557	20.6	3012	11.3	24.4
灌丛	1.48	1.98	12.70	53.72	2.21	4.99	5.38	663	27.9	3266	14.4	21.6
耕地	1.75	1.52	12.88	59.08	2.43	2.24	4.46	524	20.4	3103	11.6	23.0
退耕地	1.65	1.60	12.93	57.45	2.26	3.14	4.61	585	21.8	2943	12.4	23.0
草地	1.19	1.65	14.22	56.00	2.34	5.25	657	23.8	3732	12.2	26.9	
草地	1.68	2.36	13.22	54.78	2.41	3.82	5.30	606	28.3	3397	13.9	22.5

表 4-1 阴山土壤不同用地图土测定成分表

将数据取平均值，结果见表 4-2。

采样点连续两年相同的非沙生灌降尘样品数据取平均值，对沙生灌降尘样品不同采样时间的相同土地利用类型数据进行平均，见表 4-1。同样，对三处降尘“研究”可知，不同采样时间的表土理化性质相差不大，为了减小运算量， $\text{Mn}$ 、 $\text{Cu}$ 、 $\text{Pb}$ 、 $\text{As}$  和  $\text{Ti}$  含量进行统计分析。由“3 阴山土壤表土理化性质的测定方法”可知，在密闭容器中一氯化氯、乙块燃烧氧化法测定土壤样品中  $\text{As}$ 、 $\text{Pb}$  和  $\text{Cu}$  的含量。利用  $\text{HNO}_3-\text{H}_2\text{SO}_4$  消化分解的方法测定土壤样品中  $\text{As}$ 、 $\text{Pb}$  和  $\text{Cu}$  及  $\text{Si}$  的含量。高氯酸将土壤样品分解，利用乙块燃烧原子吸收分光光度计测定土壤中的含量。高氯酸将土壤样品分解，利用乙块燃烧原子吸收分光光度计测定土壤中的含量。利用  $\text{HNO}_3-\text{H}_2\text{SO}_4$  在密闭容器中一氯化氯、乙块燃烧氧化法测定土壤样品中  $\text{Al}$  光度计 (FAAS) 在密闭容器中一氯化氯、乙块燃烧氧化法测定土壤样品中化学位后放入纸袋中，送往内蒙古自治区实验室研究所，使用日本 508 型原子吸收分光光度计测定元素组成。使用原子吸收分光光度计测定土壤样品中化学组成，土壤样品后放入纸袋中，送往内蒙古自治区实验室研究所，使用日本 508 型原子吸收分光光度计测定元素组成。使用原子吸收分光光度计测定土壤样品风干并过 0.15mm 筛，然后放入纸袋中，送往内蒙古自治区实验室研究所，使用日本 508 型原子吸收分光光度计测定元素组成。使用原子吸收分光光度计测定土壤样品风干并过 0.15mm 筛，然后放入纸袋中，送往内蒙古自治区实验室研究所，使用日本 508 型原子吸收分光光度计测定元素组成。

#### 4.1 阴山土壤与大气降尘组成成分测定

对阴山土壤与大气降尘样品的组成成分进行测定，测定内容包括： $\text{K}_2\text{O}$ 、 $\text{CaO}$ 、 $\text{Na}_2\text{O}$ 、 $\text{MgO}$ 、 $\text{Al}_2\text{O}_3$ 、 $\text{SiO}_2$ 、 $\text{Fe}_2\text{O}_3$ 、 $\text{Mn}$ 、 $\text{Cu}$ 、 $\text{Pb}$ 、 $\text{As}$  和  $\text{Ti}$  的含量。利用软件 Origin6.0 统计，分别对阴山土壤与大氣降尘组成成分和大氣降尘组成成分进行分析。

#### 4.2 阴山土壤与大氣降尘组成成分测定及分析

第四章 阴山土壤与大氣降尘组成成分测定及分析

结合表4-3和图4-1分析，四类样品中， $\text{SiO}_2$ 和 $\text{Fe}_2\text{O}_3$ 含量占较大比重。 $\text{SiO}_2$ 含量在表土中最高，交通土次之，建筑土最低。 $\text{Fe}_2\text{O}_3$ 含量在建筑土中最低，其他三类样品中相差不大。表土中 $\text{K}_2\text{O}$ 含量明显高于其它三类样品。交通土中 $\text{Pb}$ 、 $\text{Fe}_2\text{O}_3$ 含量较高， $\text{As}$ 含量最低。 $\text{Na}_2\text{O}$ 、 $\text{MgO}$ 含量偏高。建筑土中 $\text{CaO}$ 含量明显高于其他样品， $\text{Mn}$ 、 $\text{Ti}$ 含量较高， $\text{Cu}$ 、 $\text{As}$ 、 $\text{Pb}$ 含量偏低。蝶虫中 $\text{As}$ 的含量远高于其它样品， $\text{Al}_2\text{O}_3$ 、 $\text{Cu}$ 含量较高。

注：氯化物单位（ $\times 10^{-3}$ ），微量元素单位（ $\times 10^{-6}$ ）。

样品类型	Na <sub>2</sub> O	MgO	Al <sub>2</sub> O <sub>3</sub>	SiO <sub>2</sub>	K <sub>2</sub> O	CaO	FeO <sub>T</sub>	Mn	Cu	Ti	As	Pb
表土	1.63	1.80	13.02	57.05	2.37	3.08	4.82					
表层土	2.18	2.25	11.27	46.41	1.94	8.35	5245	599	23.8	3242	12.6	23.6
表层土	2.18	2.25	11.27	46.41	1.94	8.35	5245	522	42.8	3587	8.15	39.3
表层土	1.65	2.63	12.31	23.72	0.66	30.37	1.99	862	27	7028	13.5	26.8
表层土	1.01	1.14	23.94	36.22	0.7	5.52	5.19	570	83.4	6653	91.8	34.3

表 4-3 阳山土壤表土及生样测定成分表

本研究对阴山北麓不同用地类型土壤重金属含量进行了采集和检测，同时选取呼和浩特市郊区交通主、建筑和煤烟尘做了成分测定，其实验结果见表 4-1，对阴山北麓各用地表土数据，经计算平均做了汇总得表 4-3。

#### 4.2.1 阳山花岗岩土壤成分分析

#### 4.2 阳山土壤与大气降尘组成成分分析

注：氯化物单位（ $\times 10^{-3}$ ），微量元素单位（ $\times 10^{-4}$ ）。

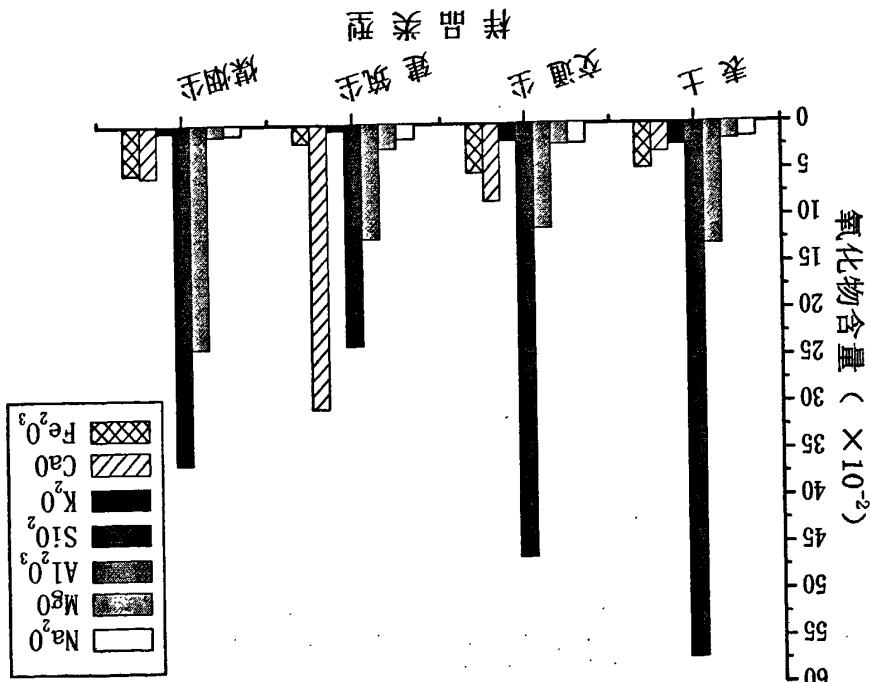
5月非农就业	1.44	2.59	14.05	49.33	2.09	4.77	6.63	764	56.4	4204	9.9	170
6月非农就业	1.65	2.68	13.53	47.42	2.07	6.67	6.4	740	70.8	4223	12.8	149
7月非农就业	1.77	2.14	11.67	56.43	2.11	5.5	4.61	560	27.5	3420	12.6	262
总计非农就业	1.77	2.14	11.67	56.43	2.11	5.5	4.61	560	27.5	3420	12.6	262

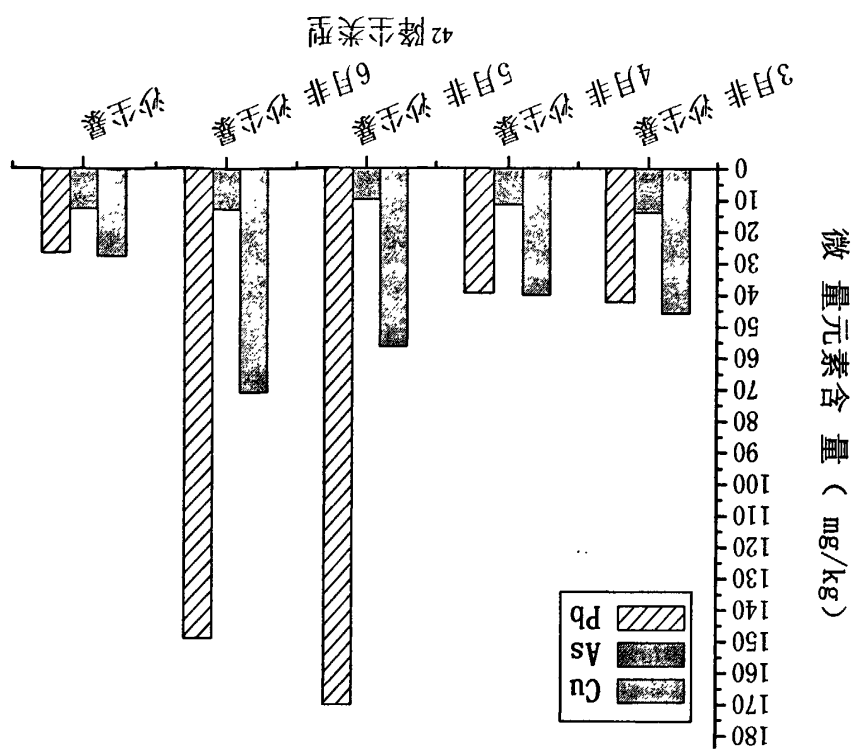
内蒙古师范大学硕士学位论文

不大。Na<sub>2</sub>O、MgO 和 K<sub>2</sub>O 含量在沙土与非沙土暴降尘样品中含量相差不多在 2.5% 以下。Na<sub>2</sub>O、MgO 和 K<sub>2</sub>O 含量在沙土与非沙土暴降尘样品中含量相差不多，比非沙土暴降尘样品中减少约 1~2%。Na<sub>2</sub>O、MgO 和 K<sub>2</sub>O 含量偏低，量有所减少，比非沙土暴降尘样品中较少，约为 5~7%，但在沙土暴降尘样品中变化不明显。Fe<sub>2</sub>O<sub>3</sub> 的含量也较为相近，约为 5~7%，但在沙土暴降尘样品中含少。比较五组降尘样品，CaO 含量相差不大，并且在沙土与非沙土暴降尘样品在连续四个月的非沙土暴降尘样品中含量较为接近，在沙土暴降尘中含量有所减小。比较五组降尘样品，CaO 含量相差不大，其次是 Al<sub>2</sub>O<sub>3</sub>，含量为 11~15%，4、5 三个月的非沙土暴降尘样品中相差不大。其次 是 Al<sub>2</sub>O<sub>3</sub>，含量为 11~15%，50% 左右，在沙土暴降尘样品中最高，在 6 月份非沙土暴降尘样品中偏低，在 3、结合表 4-2 和图 4-2 可以看出，各降尘样品中，主要成分是 SiO<sub>2</sub>，其含量在

#### 4.2.2 大气降尘组成成分分析

图 4-1 阴山北部表土及降尘样品氧化物含量对比

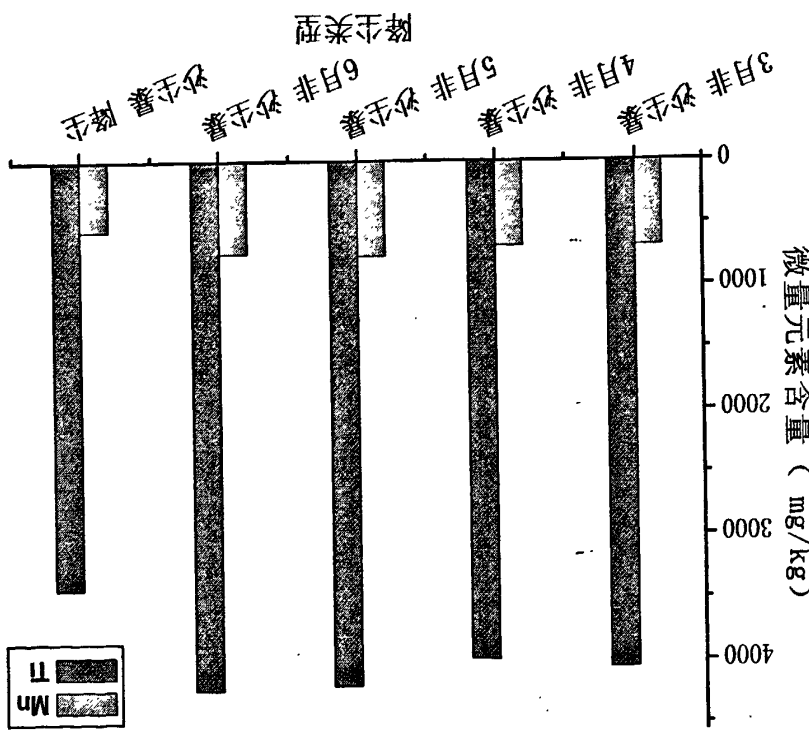




结合分析, 沙尘暴降尘样品中铝、铜、锰和钛的含量明显低于非沙尘暴降尘 200mg/kg 左右。锰和钛的含量在沙尘暴降尘样品中最低。结合表 4-2 和图 4-3(b) 可以看出, 锰和钛的含量在 5、6 月非沙尘暴降尘样品中明显高于其它月份的非沙尘暴降尘样品, 锰高出 60~80mg/kg, 钛高出 9.9mg/kg。钛含量在沙尘暴降尘样品与非沙尘暴降尘样品中变化不明显。其次为 6 月非沙尘暴降尘样品和沙尘暴降尘样品, 在 5 月非沙尘暴降尘样品中最低, 为 9.9mg/kg。钛含量在沙尘暴降尘样品与非沙尘暴降尘样品中变化不明显。结合表 4-2 和图 4-3(a) 可以看出, 3、4 月非沙尘暴降尘样品中, 铝、锡含量较少, 均在 40~45mg/kg。5、6 月非沙尘暴降尘样品中, 铝、锡含量增加量较为相近, 均在 40~45mg/kg。5、6 月非沙尘暴降尘样品中, 铜、铅含量增加量最明显。其中, 5 月非沙尘暴降尘样品铅含量最高, 6 月非沙尘暴降尘样品铅含量增加量也较高。与 3、4 月非沙尘暴降尘样品相比, 铅含量增加了 15~30mg/kg, 锡含量增加了 90~110mg/kg。铜含量在 3 月非沙尘暴降尘样品中最高, 为 14mg/kg, 其次为 6 月非沙尘暴降尘样品和沙尘暴降尘样品, 在 5 月非沙尘暴降尘样品中最低, 为 9.9mg/kg。铜含量在沙尘暴降尘样品与非沙尘暴降尘样品中变化不明显。

图 4-3 路尘样品微量元素含量对比

(b) 路尘样品 Mn、Ti 含量对比



(a) 路尘样品 Cu、As、Pb 含量对比

样品，其原因在于，以上各元素的含量受天气变化影响明显。同时，5、6月非沙尘暴降尘样品中铝、铜、锰和铁的含量明显高于其它月份的非沙尘暴降尘样品。沙尘暴降尘样品中铝、铜、锰和铁的含量明显低于非沙尘暴降尘样品，5、6月非沙尘暴降尘样品中铝、铜、锰和铁的含量明显低于非沙尘暴降尘样品。此外，沙尘Fe<sub>2</sub>O<sub>3</sub>含量在交通尘中明显较高。CaO、Mn、Ti含量在建筑尘中较高。Pb、Pb、煤烟尘，次之是非沙尘暴降尘，含量最低的是表土、交通尘和沙尘暴降尘。Pb、煤烟尘，次之是表土、煤烟尘、交通尘和沙尘暴降尘中较低。铁含量最高的建筑尘和其次之，表土、煤烟尘、交通尘和沙尘暴降尘中较低。锰含量在建筑尘中最高，非沙尘暴降尘在沙尘暴降尘、表土、建筑尘样品中较低。次之为交通尘与非沙尘暴降尘，沙尘暴降尘样品中含量低。铜和铝含量在煤烟尘中最高，次之为交通尘与非沙尘暴降尘。表土、交通尘、建筑尘、煤烟尘和沙尘暴降尘中Fe<sub>2</sub>O<sub>3</sub>含量均比非沙尘暴降尘量。表土、交通尘、建筑尘、煤烟尘和沙尘暴降尘样品中高，其更接近于表土样品含SiO<sub>2</sub>含量在沙尘暴降尘样品中比非沙尘暴降尘样品中高，其更接近于表土样品含所测定样品中，SiO<sub>2</sub>含量最高，Al<sub>2</sub>O<sub>3</sub>含量次之，Na<sub>2</sub>O、MgO 和 K<sub>2</sub>O 含量较低。

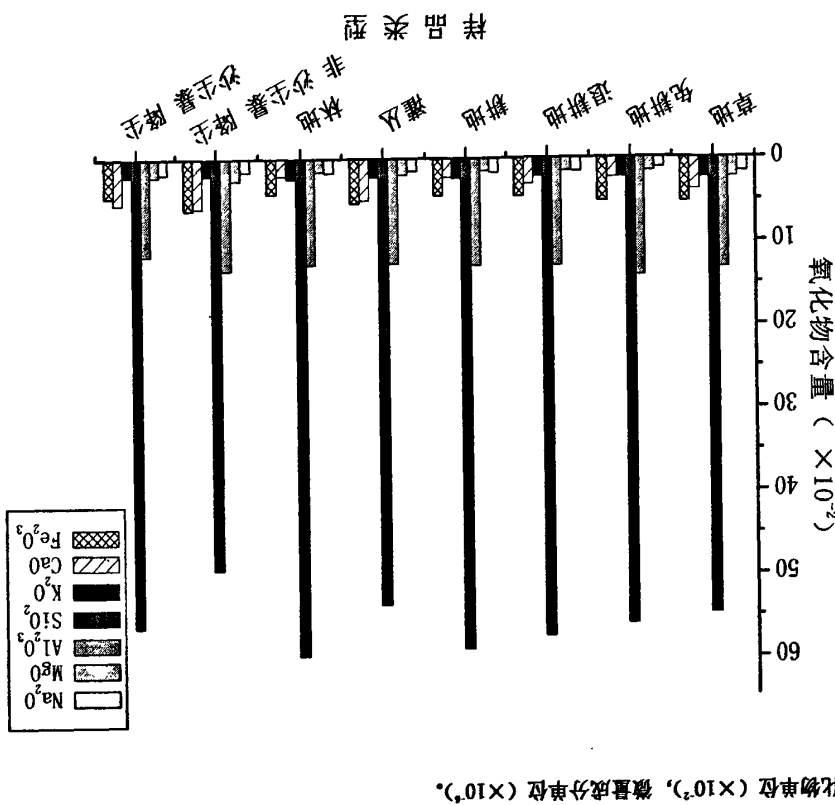
样品组成元素测定。对测定数据统计分析，得到：

通过使用日立 508 型原子吸收分光光度计，对阴山北麓表土样品与大气降尘

### 4.3 小结

样品，其原因在于，以上各元素的含量受天气变化影响明显。同时，5、6月非沙尘暴降尘样品中铝、铜、锰和铁的含量明显高于其它月份的非沙尘暴降尘样品，沙尘暴降尘样品中铝、铜、锰和铁的含量明显低于非沙尘暴降尘样品，是因为受到人为因素的干扰。

图 5-1 阳山北麓不同用地表土与浮尘样品氧化物含量对比



注：氧化物单位 ( $\times 10^3$ )，微量元素单位 ( $\times 10^4$ )。

表土类型	$Na_2O$	$MgO$	$Al_2O_3$	$SiO_2$	$K_2O$	$CaO$	$Fe_2O_3$	Mn	Cu	Ti	As	Pb
草地	1.68	2.36	13.22	54.78	2.41	3.82	5.30	606	28.3	3397	13.9	22.5
荒地	1.19	1.65	14.22	56.00	2.34	2.33	5.25	657	23.8	3732	12.2	26.9
免耕地	1.65	1.60	12.93	57.45	2.26	3.14	4.61	586	21.8	2943	12.4	23.0
灌溉地	1.75	1.52	12.88	59.08	2.43	2.24	4.46	524	20.4	3103	11.6	23.0
灌丛	1.48	1.98	12.70	53.72	2.21	4.99	5.38	663	27.9	3266	14.4	21.6
林地	1.69	1.60	12.81	59.85	2.47	2.06	4.27	567	20.6	3012	11.3	24.4
平地表土	1.63	1.80	13.02	57.05	2.37	3.08	4.82	599	23.8	3242	12.6	23.6
非生态平衡浮尘	1.56	2.60	13.42	49.38	2.09	6.15	5.92	719	53.3	4117	12.2	100
生态平衡浮尘	1.77	2.14	11.67	56.43	2.11	4.61	5.5	560	27.5	3420	12.6	26.2

表 5-1 阳山北麓表土与平均浮尘测定成分表

### 5.1 阳山北麓不同类型表土利用类型表土与浮尘的相关性分析

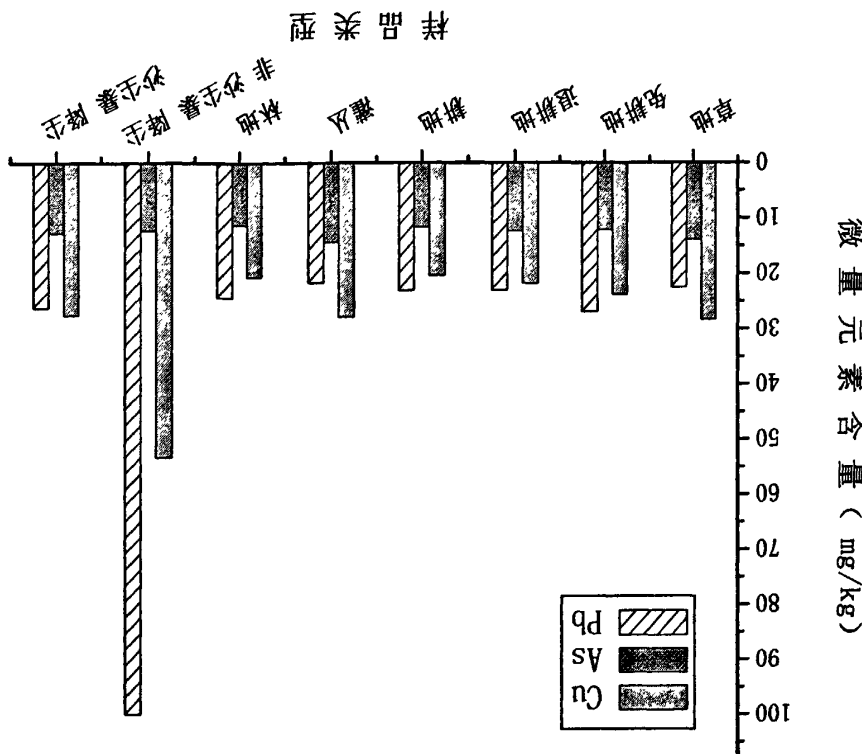
对阳山北麓平地表土与土壤特大气候浮尘的关系。

对阳山北麓不同类型表土与土壤特大气候浮尘样品成分对比分析，并对阳山北麓平地表土与大气候浮尘样品的组成成分进行对比分析，探究阳山北麓表

### 5 阳山北麓表土与土壤特大气候浮尘相关性分析

结合表 5-1 和图 5-2 可知，沙生灌降尘中 Cu 的含量与灌丛最为接近，仅相

图 5-2 阿山北麓不同用地表土与降尘样品 Cu、As、Pb 含量对比

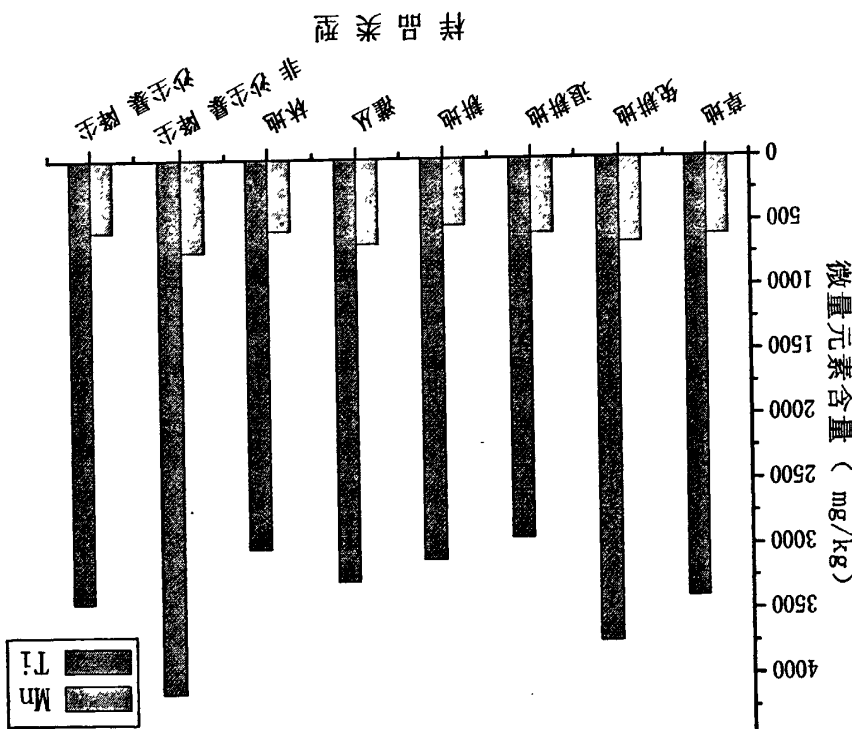


结合表 5-1 和图 5-1 可知，各样品中，SiO<sub>2</sub> 含量在林地中最高，耕地次之，非沙生灌降尘中最低，相差接近 10%。SiO<sub>2</sub> 含量在沙生灌降尘与各土类样品中相差不大，尤其与免耕地、退耕地以及平均表土含量极为相近。Al<sub>2</sub>O<sub>3</sub> 含量在免耕地中最高，其次是草地。退耕地、耕地、灌丛和林地中相差不大，沙生灌降尘中 Al<sub>2</sub>O<sub>3</sub> 含量最低，与各土类样品相差较大。Al<sub>2</sub>O<sub>3</sub> 含量与草地的含量均较高，与灌丛含量较为接近，与其它土类相差较大。是因为灌丛对 CaO 的含量贡献较大，增加了 CaO 的含量。非沙生灌降尘比沙生灌降尘 CaO 含量具有天然的富集作用，故含量高于其它土类，而降尘样品由于受到人为作用的影响，如建筑工地等，增加了 CaO 的含量。沙生灌降尘中 Fe<sub>2</sub>O<sub>3</sub> 的含量与各土类较为相近，与灌丛含量为相近，其中，与退耕地 Fe<sub>2</sub>O<sub>3</sub> 的含量完全一致，非沙生灌降尘 Fe<sub>2</sub>O<sub>3</sub> 的含量高于其他样品。Na<sub>2</sub>O、MgO 和 K<sub>2</sub>O 含量偏低，均在 2.5% 以下。Na<sub>2</sub>O 和 K<sub>2</sub>O 含量在各土类及沙生灌降尘样品中含量相差不大，草地、Na<sub>2</sub>O 和 K<sub>2</sub>O 含量在各土类及沙生灌降尘与非沙生灌降尘样品中含量相差不多。沙生灌降尘 MgO 含量相近且高于其他样品。

扩散，使污染物对沙土暴风影响较小，故沙土暴风成分为阴山北麓表土成分。在风下，即非沙土暴风中各元素含量较高，而大风天气利于大气中污染物的扩散，以上各元素的来源主要是阴山北麓表土，由于受到周边污染的影响，正常天气中以土壤中二氧化钛的含量，非沙土暴风与阴山北麓表土差异性较大。大风将表土成分有较弱的相关性，非沙土暴风与阴山北麓表土差异性较大。大风将表土含量，明显低于非沙土暴风样品。说明沙土暴风成分为阴山北麓平均表土含量，明显低于沙土暴风样品、铜、锰和钛的含量与各种土壤样品较为接近，总体上讲，沙土暴风样品中铝、铜、锰和钛的含量与各种土壤样品较为接近，而且非沙土暴风Ti含量较高，比平均表土高出 $875\text{mg/kg}$ 。

结合表5-1和图5-3可以看出，沙土暴风中Mn含量与林地仅相差 $3\text{mg/kg}$ ，非沙土暴风Mn含量最高。沙土暴风Ti含量与平均表土接近，更为接近草地、林地。

图5-3 阴山北麓不同用地表土与沙土暴风样品Mn、Ti含量对比



退耕地As含量相差不多，沙土暴风与平均表土As含量完全一致。As含量偏高，耕地、林地As含量偏低，沙土暴风、非沙土暴风、免耕地和非沙土暴风Pb含量比平均表土高出约 $76\text{mg/kg}$ 。草地、退耕地As含量 $0.7\text{mg/kg}$ 。非沙土暴风Pb含量比平均表土高出约 $76\text{mg/kg}$ 。草地、退耕地Pb含量仅差 $0.4\text{mg/kg}$ ，草地次之，相差 $0.8\text{mg/kg}$ 。非沙土暴风Cu的含量较高，是其它样品含量的2倍左右。各土类Pb含量相差不多，沙土暴风与免耕地Pb含量仅差 $0.4\text{mg/kg}$ ，草地次之，相差 $0.8\text{mg/kg}$ 。非沙土暴风Zn的含量较高，是其它样品含量的2倍左右。各土类Zn含量相差不多，沙土暴风与免耕地Zn含量仅差 $0.4\text{mg/kg}$ ，草地次之，相差 $0.8\text{mg/kg}$ 。非沙土暴风Mn的含量较高，是其它样品含量的2倍左右。各土类Mn含量相差不多，沙土暴风与免耕地Mn含量仅差 $3\text{mg/kg}$ ，草地次之，相差 $3\text{mg/kg}$ 。非沙土暴风Ti含量较高，比平均表土高出 $875\text{mg/kg}$ 。

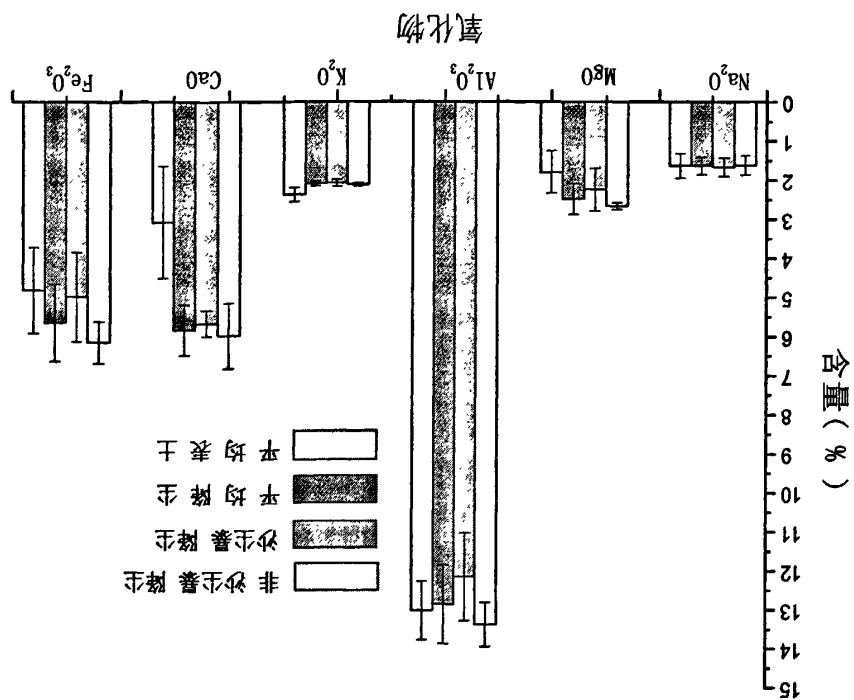
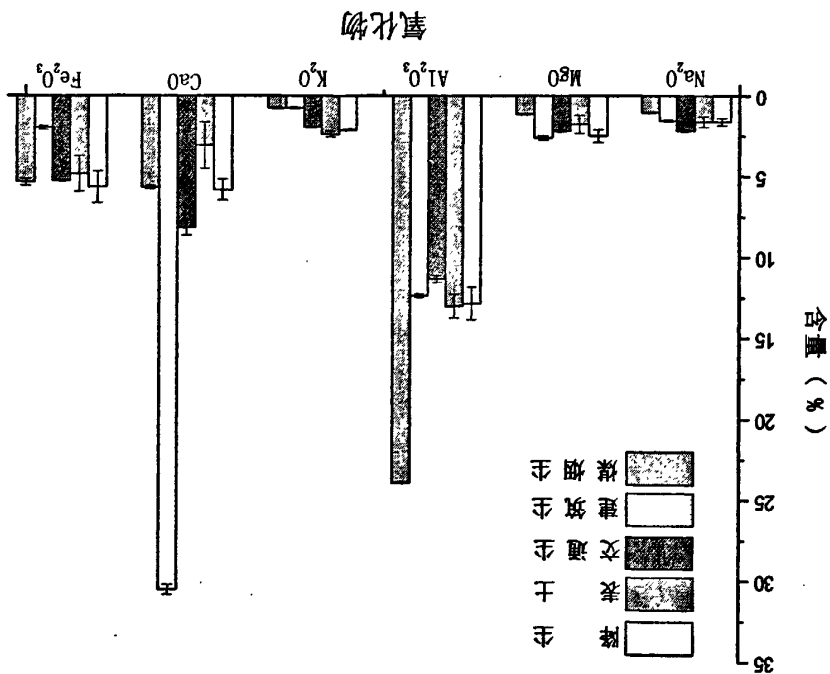
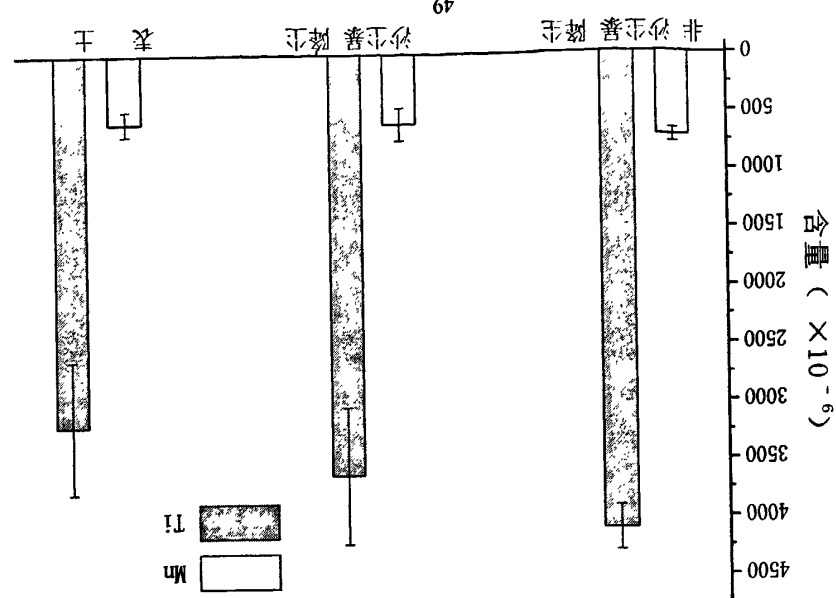


图 5-4 建筑土、表土、交通土、建筑残土和煤烟尘样品氯化物含量对比



## 5.2 阴山北麓平均表土与降尘的相关性分析

一致。



(a) 非碳酸盐页岩、碳酸盐页岩和表土样品 Cu、As、Pb 含量对比

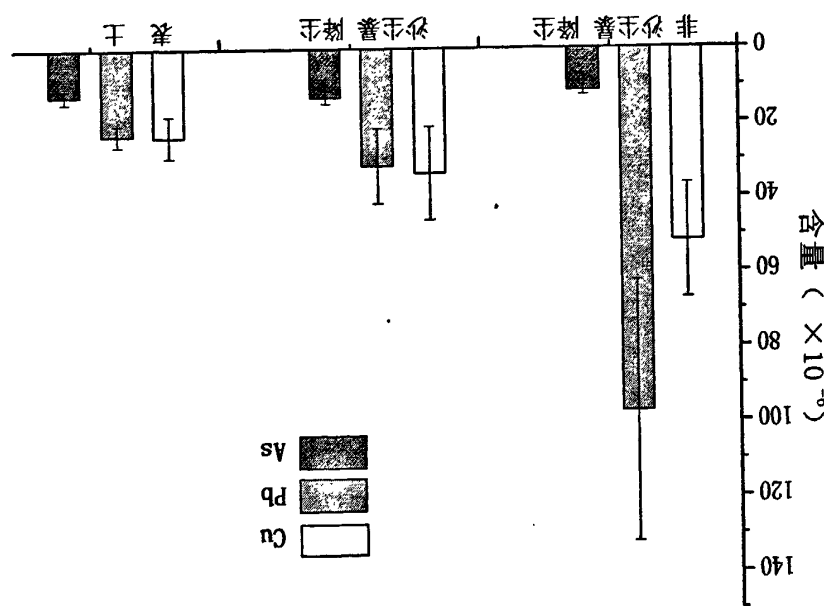


图 5-5 表土与降尘样品氯化物含量对比

富集因子法是大风源解析过程中的一种定性方法，通过该方法能够定性了解大气污染物来源，与定量解析结合起来可起到相互验证的作用。将实验数据代入

### 5.3 利用富集因子法解析

条件下，呼和浩特市市区居民以及周边工厂的燃煤，导致了 As 含量较高。烟尘随大风进入市区，从而增加了市区沙尘暴降尘中的 As 含量。而非沙尘暴天气的大规模燃煤，由于装运及进煤等过程，造成了大量煤尘飞扬，飞扬到空中的煤尘——As 的含量。这与呼和浩特市周边分布的煤场有关。呼和浩特周边分布质沿西北风主风向的运输路线上，带入了大量的煤尘物质，从而增加了煤的标识样品，同时，也大于阴山北麓表土。说明沙尘天气发生时，阴山北麓表土沙尘颗粒成大风降尘成分中铅含量的增加。沙尘暴降尘样品中 As 含量大于非沙尘暴降尘于铅主要来自汽车尾气排放，在正常天气条件下，呼和浩特市汽车尾气的排放量较大。而非沙尘暴降尘样品中铅的含量要远远大于沙尘暴降尘样品中铅的含量。由且表土样品与沙尘暴降尘样品中含量相近，而表土与非沙尘暴降尘样品含量相差在非沙尘暴降尘样品中最高，沙尘暴降尘样品中次之，阴山北麓表土样品中最低，图 5-6 显示，微量元素 Mn 的含量在三种样品中差别不大，Pb、Ti、Cu 含量

成分。

图 5-5 显示，在四组样品中，Al<sub>2</sub>O<sub>3</sub>、K<sub>2</sub>O 和 Na<sub>2</sub>O 含量相差不大。Fe<sub>2</sub>O<sub>3</sub>、MgO 含量在沙尘暴降尘样品与表土样品中较为接近。SiO<sub>2</sub> 的含量在沙尘暴降尘样品与表土样品中均超过了 50%，且仅相差 0.17%，而非沙尘暴降尘样品与表土样品相差不多。而非沙尘暴降尘样品中最高，沙尘暴降尘样品中次之，阴山北麓表土样品中最低。

图 5-6 显示，微量元素 Mn 的含量在三种样品中差别不大，Pb、Ti、Cu 含量

成分。

图 5-6 非沙尘暴降尘、沙尘暴降尘和表土样品 Mn、Pb、As 和 Ti 等微占总质量的 30%。微量元素 Mn、Cu、Pb、As 和 Ti 等微占总质量的 0.34~0.52%。相比而言，大风降尘的平均组成成分与建筑尘、煤烟尘成分相差不大，而与表土和交通尘成分较为接近。降尘中 SiO<sub>2</sub> 的含量与表土中 SiO<sub>2</sub> 的含量差大于 5.1%，与交通尘中 SiO<sub>2</sub> 的含量差小于 5.5%，与煤烟尘样品中 SiO<sub>2</sub> 的含量差别大于 15%，与建筑尘中 SiO<sub>2</sub> 的含量差别近 28%。对降尘中第二氧化硅 Al<sub>2</sub>O<sub>3</sub> 的含量分析，Al<sub>2</sub>O<sub>3</sub> 的含量在降尘中与在表土中的差值最小，约 0.17%，降尘与交通尘中 Al<sub>2</sub>O<sub>3</sub> 的含量相差 1.58%，与建筑尘相差 0.54%，与煤烟尘相差 5.09%。通过以上分析证明，大风降尘的平均组成成分接近表土。

图 5-6 非沙尘暴降尘、沙尘暴降尘和表土样品 Mn、Pb、As 和 Ti 含量对比

(b) 非沙尘暴降尘、沙尘暴降尘和表土样品 Mn、Ti 含量对比

在一定的差异数是由于受交通污染及市区周边煤场影响。富集系数分析表明土壤特征与阴山北麓表土特征较为一致，其样品相近，而与非沙尘暴降尘样品差别较大。

大颗粒的平均组成分量接近表土；沙尘暴降尘样品组成比非沙尘暴降尘样品更接近阴山北麓表土组成成分；阴山北麓表土微量元素的含量与沙尘暴降尘大。

沙尘暴降尘样品中氯化物及微量元素的含量与不同土地利用类型表土样品部分与阴山北麓表土成分有较弱的相关性，而非沙尘暴降尘与阴山北麓表土差异数较大，接近平均表土含量，明显低于非沙尘暴降尘样品。说明沙尘暴降尘成分为较近，接近平均表土含量，明显低于非沙尘暴降尘样品。阴山北麓表土差异数较大。

#### 5.4 小结

通过对比表土的计算，阴山北麓表土的组成部分中，铁、锰、铜和铅同样存在富集现象。其中，铅的富集现象较为明显。

品中较低，3月非沙尘暴降尘样品较高，是由于受到燃煤和市区周边煤场的影响。说明此时段的交通工具问题较为突出。As元素的EF值，在5月非沙尘暴降尘样品与Pb元素的富集现象较为明显，说明人为污染较为严重。Pb元素的主要来源是汽车尾气排放，在5、6月份非沙尘暴降尘样品中，Pb元素的EF值在15左右，与Pb元素的富集现象较为明显，说明人为污染较为严重。As与Pb元素的EF值均大于1，说明土颗粒平原降尘中，以上两种元素均受到人为因素的干扰。As与Pb元素的EF值在6月份，以上提到的人为污染在但并不严重。As与Pb元素的EF值均大于1，说明Cu元素含量。由于Cu元素的EF值略大于1，即富集现象并不明显，说明在6月份，以上提到的人为污染在但并不严重。As与Pb元素的EF值均大于1，说明此时段降尘中的Cu元素不仅来源于地壳，同时也受到人类活动的影响，如金属冶炼、垃圾焚烧、燃油、燃煤等均可以增加降尘中的Cu元素的EF值大于1，说明此时段降尘中的Cu元素不仅来源于地壳，而且造成了损失，但具体造成损失的原因还有待于进一步研究。在6月非沙尘暴降尘样品的EF值均小于1，说明这些元素均来源于地壳，其值低于1，是迁移过程中造成的EF值均大于1时，则认为元素不是来源于地壳。表5-2显示，铁、锰、铜、铅的EF值均小于1，说明这些元素均来源于地壳，其值低于1，是迁移过程中造成的EF值均大于1时，则认为元素不是来源于地壳。当EF<1时，认为元素来

降尘类型	EF <sub>Si</sub>	EF <sub>Mn</sub>	EF <sub>Fe</sub>	EF <sub>As</sub>	EF <sub>Pb</sub>	均值
3月非沙尘暴	1.03	0.76	0.63	0.87	7.61	4.21
4月非沙尘暴	1.05	0.75	0.64	0.77	6.29	3.96
5月非沙尘暴	0.95	0.73	0.67	0.1	5.02	15.81
6月非沙尘暴	0.94	0.77	0.66	1.30	6.74	14.39
沙尘暴降尘	1.31	0.71	0.57	0.58	7.64	2.92
	1.09	0.74	0.62	0.71	6.75	6.88

表5-2 沙尘微量元素富集系数计算结果

富集系数计算公式得表5-2。

本文通过对阴山北麓不同用地表土和土壤特征原野连续两年春季的样品采集定样品中,  $\text{SiO}_2$  含量最高,  $\text{Al}_2\text{O}_3$ 、 $\text{Na}_2\text{O}$ 、 $\text{MgO}$  和  $\text{K}_2\text{O}$  含量较低。 $\text{SiO}_2$  含量在沙土暴降尘样品中比非沙土暴降尘样品含铁和铝含量高, 其更接近于表土样品含铁和铝含量。表土、交通尘、建筑尘、煤烟尘和沙土暴降尘中  $\text{Fe}_2\text{O}_3$  含量均比非沙土暴降尘高。次之为交通尘与非沙土暴降尘, 表土、煤烟尘、建筑尘、交通尘和沙土暴降尘中较低。 $\text{Pb}^+$ 、 $\text{Mn}^+$ 、 $\text{Ti}^+$  含量在交通尘中明显较高。此外, 沙土暴降尘样品中铝、铜、锰和钛的含量明显低于非沙土暴降尘样品, 5、6 月非沙土暴降尘样品中铝、铜、锰和钛的含量明显低于其它月份的非沙土暴降尘样品。沙土暴降尘样品中二氧化硅、铜、锰和钛的含量明显低于非沙土暴降尘样品。沙土暴降尘样品中二氧化硅含量, 明显低于非沙土暴降尘样品。说明沙土暴降尘成分为较近, 接近平均表土含量, 明显低于非沙土暴降尘样品。说明沙土暴降尘成分为较远, 接近平均表土含量, 明显低于非沙土暴降尘样品。该成分为较远, 接近平均表土成分为较近, 接近平均表土含量, 明显低于非沙土暴降尘样品。说明沙土暴降尘成分为较远, 接近平均表土成分为较近, 接近平均表土含量, 明显低于非沙土暴降尘样品。

正常年气候条件下, 非沙土暴降尘中各元素含量较高, 而受到周边污染的影响, 正常年气候条件下, 非沙土暴降尘成分为较远, 接近平均表土成分为较近, 接近平均表土含量, 明显低于非沙土暴降尘样品。说明沙土暴降尘成分为较远, 接近平均表土成分为较近, 接近平均表土含量, 明显低于非沙土暴降尘样品。

大风天气状况下, 非沙土暴降尘成分为较远, 接近平均表土成分为较近, 接近平均表土含量, 明显低于非沙土暴降尘样品。说明沙土暴降尘成分为较远, 接近平均表土成分为较近, 接近平均表土含量, 明显低于非沙土暴降尘样品。

中污染物质的扩散, 使污染物对沙土暴降尘影响较小, 非沙土暴降尘成分为较远, 接近平均表土成分为较近, 接近平均表土含量, 明显低于非沙土暴降尘样品。说明沙土暴降尘成分为较远, 接近平均表土成分为较近, 接近平均表土含量, 明显低于非沙土暴降尘样品。

微量化物  $\text{SiO}_2$ 、 $\text{Al}_2\text{O}_3$ 、 $\text{CaO}$ 、 $\text{Fe}_2\text{O}_3$ 、 $\text{MgO}$ 、 $\text{K}_2\text{O}$  和  $\text{Na}_2\text{O}$  是降尘的主要组成部分, 占总量的 81.5~85.1%,  $\text{Al}_2\text{O}_3$ 、 $\text{CaO}$ 、 $\text{Fe}_2\text{O}_3$  三种氧化物接近占总量的 30%。 $\text{Mn}^+$ 、 $\text{Cu}^+$ 、 $\text{Pb}^+$ 、 $\text{As}^+$  和  $\text{Ti}^+$  等仅占总量的 0.34~0.52%。大风天气的平均微量化物  $\text{Mn}^+$ 、 $\text{Cu}^+$ 、 $\text{Pb}^+$ 、 $\text{As}^+$  和  $\text{Ti}^+$  等仅占总量的 0.17%, 非沙土暴降尘样品与表土样品相差不多。故沙土暴降尘样品组成比非沙土暴降尘样品更接近阴山北表土组成为成分。

## 6 结论

阴山北麓表土微量元素的含量与沙尘暴扬尘样品相近，而与非沙尘暴扬尘样品差别较大。 $Pb$ 、 $Ti$ 、 $Cu$  含量在非沙尘暴扬尘样品中最高，沙尘暴扬尘样品中富集系数分析表明表土颗粒物质量过大，阴山北麓表土样品中最低。次之，阴山北麓表土样品中量少，在一定的是由于受交通工具及市区间边界的直接影响。

阴山北麓表土的细颗粒物质量通过冬季的东亚季风输送到土壤颗粒物质量大的地区。生位于下风向，表土位于上风向。上风向的表土的贡献量要大于下风向的降尘。这证明通过强风搬运到土壤颗粒物质量大的组成和阴山北麓表土的组成有相似之处。总体上讲，土壤颗粒物质量大与阴山北麓表土的关联性很好。

因为大风携带的阴山北麓表土是沙尘暴降尘中的主要来源，所以每年土壤颗粒物质量大的过程中，对城市上风向（西、西北、北）区域的污染源的管理是非常重要的。未来土壤颗粒物质量改善和预防空气污染的关键点是治理周边的农牧区域。在未来土壤颗粒物质量大的过程中，对城市上风向（西、西北、北）区域的污染源的管理是非常重要的。

提高土壤颗粒物质量最重要的途径是减少冬季和春季季风给土壤颗粒物质量带来的降尘。

- [1] 邱志清,朱震达.从沙尘暴看西部大开发中生态环境保护的重要性[J].地理科学进展,2000,19(3):259-265.
- [2] 钟金明,崔海亭,唐志尧.中国沙尘暴时空特征及人类活动对其发展趋势的影响[J].自然灾害学报,1997,12(3):49-52.
- [3] 杨东虎,房秀梅,李兴生.我国北方沙尘暴变化趋势分析[J].应用气象学报,1998,9(3):352-358.
- [4] Bagmolid, R.A. The Physics of Blown Sand and Desert Dunes. Marrow & Company[J], New York, 1941.
- [5] A.N. 佐纳门斯基著,杨鹤华译,朱震达校.沙地风蚀过程的实验研究和沙堆防治问题[M].北京:科学出版社,1960.
- [6] TM.Zoback. Soil properties affecting wind erosion[J]. Soil and water Cons, 1991,46(2): 112-118.
- [7] TM.Zoback. Soil properties affecting wind erosion[J]. Soil and water Cons, 1994,49(2):183-188.
- [8] D.W.Fryrear,C.A.Kravemes, D.L.Williamson, T.M.Zoback. Computing the wind erodible fraction of soils[J]. Soil and water Cons, 1994,49(2):183-188.
- [9] D.W.Fryrear.Mechanics,Measurement and modeling of wind erosion[J].Advances in Geobiology 31(1998):291-300.
- [10] D.W.Fryrear,A. Saleh. Field wind erosion: Vertical distribution[J]. Soil science, 1993,155(4): 294 - 300.
- [11] Shemman,D.J. An equilibrium relationship for shear velocity and apparent roughness length in Aeolian saltation[J]. Geomorphology, 5(1992):419-431.
- [12] Blumberg, D.G., Greeley,R. Field studies of aerodynamic roughness length[J]. Arid Environ. 76(1971):2880-2885.
- [13] Hsu, S.A. Measurement of shear stress and roughness length on beach[J]. Geophys. Res., 25(1993):39-48.
- [14] Chamberlain, A.C. Roughness length of sea, sand and snow[J]. Boundary Layer Meteorol., 25(1983):405-409.
- [15] 刁景诗,郑明倩.内蒙古中西部强积雪带沙尘暴的气候学特征[J].高原气象,2003,22(1):51-64.
- [16] 王成功,董光英,陈惠忠,等.沙尘暴研究的进展[J].中国沙漠,2000,20(4):349-356.
- [17] Legein Ima, A Lacus Andreew, Znez Funge. The influence on climate forcing of mineral aerosols from disturbed soils[J]. Nature, 1996,380:419-422.
- [18] 关欣,李巧云,文倩,等.利田降尘与浮尘、扬沙、沙尘暴关系的研究[J].环境科学研究,

- [19] Wimchester, J.W., LU Weixiu, REN Lixiu, WANG Mingxiang. Fine and coarse aerosol composition from a rural area in northern China [J]. Atmospheric environment, 1981, 15: 933-937.
- [20] 张仁健,王明星,浦一芳,等.2000年春季北京特大沙尘暴颗粒物的物理化学特性分析[J].气候与环境科学,2000,13(6):2-7.
- [21] 黄宁,郭晓静,陈广庭,等.沙尘暴对无线电波传播影响的研究[J].中国沙漠,1998,18(4):350-353.
- [22] 金昱,郭新能,黄雪莲,等.沙尘暴颗粒物对人肺成纤维细胞的细胞毒性研究[J].环境与健康杂志,2004,21(4):199-201.
- [23] 全洁,齐世俊,魏群,何西走廊.1994-04-08浮尘暴.黄沙的气象特征和大气气溶胶测定[J].环境科学,1995,16(1):54-57.
- [24] GUO Zhigang, LI Juyuan, FENG Jialiang, et al. Compound-specific carbon isotope compositions of individual long-chain n-alkanes in severe Asian dust episodes in the North China coast in 2002 [J]. Chinese Science Bulletin, 2006, 51 (17): 2133-2140.
- [25] T. L. Durumgton et al. Analysis of  $\text{PM}_{10}$  Trends in the United States from 1988 through 1995 [J]. JAWMA, 1997, 47, Oct: 1070-1078.
- [26] 郭东英,纪湘明,徐晓斌,等.一次黄沙天气过程的分析[J].气象学报,1991,49(3):80-88.
- [27] 任正昌,李东江.大气降尘量的粗略观测[J].新疆气象,1988,(9):41-41.
- [28] 何清,蒋生天气及其评价[J].新疆气象,1997,20(3):23-25.
- [29] 何清,赵景峰.塔里木盆地降尘时空分布及对环境影响的研究[J].中国沙漠,1997,
- [30] Iwasaka, Y.H., Miyamoto, A., Nagaya, K. Transport of Asian dust (KOSA) particles: importance of weak KOSA events on the geochemical cycle of soil particles [J]. Tellus, 1983, 35B: 189-196.
- [31] 李安春,陈丽蓉,王玉洁,等.青藏地区一次降尘过程的来源及向海输入强度[J].科学通报,1997,42(18):1990-1992.
- [32] 田中丰显.云彩冰晶化过程(冰晶核)[J].气象研究,1974,1(122):689-737.
- [33] 聂章,许宝玉,贺慧霞.“930505”沙尘暴的若干启示[J].干旱区地理,1994,17 (10):63-66.
- [34] 王赞红.现代尘暴降尘与非尘暴降尘的粒度特征[J].地理学报,2003,58(4):606-610.
- [35] 叶笃正,孔昭范,刘纪远,等.关于我国华北沙尘天气的成因与治理对策[J].地理学报,
- [36] 李耀辉.近年来我国沙尘暴研究的新进展[J].中国沙漠,2004,24(5):616-622.
- [37] 张仁健,王明星,浦一芳,等.采暖期前和采暖期北京大气颗粒物的化学成分研究[J].中国科学报,2000,55(5):513-521.
- [38] Semefeld, J. H. Atmospheric Chemistry And Physics: From air pollution to climate change. New York: Springer, 2002, 19(1): 75-81.

- [39] Kim Y P, Moon Kii-Choo, Baik Nam-Jin. Concentrations of *Carbothecous* Species in Particles at Seoul and Cheju in Korea[J]. Atmospheric Environment, 1999, 33:2751-2758.
- [40] Thurnpum B J, Huntzicker J J. Identification of Secondary organic aerosol episodes and quantification of primary and secondary organic aerosol concentrations during SCAPS[J]. Atmospheric Environment, 1995, 29:3527-3544.
- [41] Chow J C, Watson J G, Lowenthal D H, et al.  $PM_{10}$  and  $PM_2.5$  compositions in California's San Joaquin Valley[J]. *Aerosol Science Technology*, 1993, 18: 105-128.
- [42] 李德成,王东红,彭安.北京西北郊降尘和降雨中镉土元素的浓度分布和来源的初步分析[J].环境科学学报,2001,21(5):640-642.
- [43] 张宁,牛耘.兰州市大气降尘沉积物的粒度分布特征研究[J].干旱环境监测,1998,12(1):16-19.
- [44] 端木会源.西安市降尘粒度空间分布特征及环境意义[J].西安科技大学学报,2005,25(2):160-163.
- [45] 黄恒文,肖洪浪,段争浪,等.中国沙漠地区降尘特征与影响因素分析[J].中国沙漠,2002,22(6):559-565.
- [46] 廖天虎,徐惠芳.大气降尘 TEM 观察及其环境矿物学意义[J].岩石矿物杂志,2003,(22)4:425-428.
- [47] 林国珍,黄英,荀志一,等.大気降尘中水溶性有机物组分与含量的研究[J].环境科学进展,1998,7(5):145-151.
- [48] 廖天虎,肖军会,张宇,等.合肥市大气颗粒物组成及其环境指示意义.岩石矿物杂志,2001,20(4):433-436.
- [49] 端木会源.积分法在计算丹东市大气降尘上的运用.辽宁大学学报(自然科学版),2002,29(2):180-183.
- [50] 阿昌华,金文刚,钟泰.环境空气中大气颗粒物源解析的研究进展[J].重庆环境科学,2002,24(3):55-59.
- [51] 雷伟伟.大气主要污染源清单调查与源解析的研究——以山西源为例.2006,硕士论文.
- [52] 黄树桂,宋坦.受体模型在大气颗粒物源解析中的应用和进展[J].中国环境科学,1995,15(4):252-256.
- [53] 张晶,陈宗良,王琪.北京市大气小颗粒物的污染源解析[J].环境科学学报,1998,18(1):62-68.
- [54] 陈明华,陈静森,李德.上海市大气颗粒物高浓度区污染物的源解析[J].上海环境科学,1997,16(10): 15-18.
- [55] 黄世鸿,李加祥,等.常州市大气溶解颗粒物来源解析[J].1995,15(2):92-101.
- [56] 谢思龙,谢有斌,赵琦,等.重庆市区大气颗粒物污染来源解析[J].重庆环境科学,

- [57] 李建新.CMB 法应用及对乌鲁木齐大气 TSP 源解析[J].新疆环境保 护,1996,18(1):29-37.
- [58] 刘昌龄,宋苏顶,夏宁,等.青岛市区大气颗粒物中重金属的浓度及其来源研究[J],青岛大学学报,1998,11(3):42-47.
- [59] 郭丽萍,陈发虎,张成君.青岛市大气颗粒物来源的定量解析——化学质量平衡方法[J].环境科学研究,1998,11(5):51-56.
- [60] 郭丽萍,陈发虎,张成君.兰州市大气降尘的化学特性[J].兰州大学学报(自然科学版),2002,38(5):115-120.
- [61] 崔绍英,马作东,陈玉芳,等.中子活化分析在大气降尘监测中的应用[J].城市环境与城市生 活,2003,16(3):56-59.
- [62] 张永年.化学计量学在分析化学中的应用[M].北京:科学出版社,2004.
- [63] 王坤杰,宋坦.大气颗粒物源解析技术研究进展[J].环境污染防治技术与设备,2002,3(8):8-12.
- [64] 张光庭,方开泰.多元统计分析引论[M].北京:科学出版社,2003,9.
- [65] 颜卫,蔡雪鹏,李乾发,等.内蒙古中西部地区沙尘暴日数分布的地貌特征[J].自然灾害学 报,2003,12(4):131-136.
- [66] 颜卫,蔡雪鹏,谢锋,植被覆盖与沙尘暴日数分布关系的研究[J].地球科学进展,200 2,17(2):273-277.
- [67] 高清海,刘景海,唐玲.沙尘暴天气客观归类判别预报模式[J].甘肃气象,2001,19(2):14-20.
- [68] 美学术,沈建国,刘景海,等.导致一例强沙尘暴过程形成的若干天气因素的模拟研究[J].气 象学报,2003,61(5):606-620.
- [69] 刘水庆,贾福平,刘永军等.大青山山地草场理论载畜量的研究[J].内蒙古林业科技,2002(增 刊).
- [70] Zobbeck T.M. Soil properties affecting wind erosion. J. oumal of soil and water conservation[J]. 1991,46(2):112-118.
- [71] 海春兴,刘宝元,赵峰.土壤湿度和植被盖度对土壤风蚀的影响[J].应用生态学 报,2002(8):1057-1058.
- [72] 海春兴,赵明,郝润梅,郭永昌,李晶莲.阴山北麓不同用地方式下春季土壤表层水分变化分 析[J].干旱区资源与环境,2005,19(5):150-154.
- [73] 李占宏,海春兴,刘广通.内蒙古土壤特平原降尘特征研究[J].干旱区资源与环 境,2007,(21):78-81.
- [74] Chun-xing Hai,Chun-shin Yuan,Guang-tong Lin,Xiao-jia Li,Fu Zhang and Xu-jiang Chang.Research on the Components of Dust Fall in Hobhot in Comparison with Surface Soil Components in Different Land Uses of Inner Mongolia Plateau[J].Water, Air, & Soil Change,2007,(21):78-81.

- Pollution, 2008, 190(5): 27-34
- (2): 95-101
- [76] 田有旺, 李瑞芝. 呼和浩特地区地下水与植被建设[J]. 干旱区资源与环境, 1996, 10(5): 50-53.
- [75] 赵连发. 呼和浩特市行道树树种规划的探讨[J]. 内蒙古林业科技, 2001(增刊), 71(80): 10-13.
- [74] 翟义长, 崔玲玲等. 土壤物理分析[M]. 中国农业出版社, 1978, 1: 500-508.
- [73] 中国科学院南京土壤研究所. 土壤理化分析[M]. 1978, 1: 114-116.
- [72] 行货项目区为例[J]. 土保持学报, 2003, 17(5): 299-303.
- [71] 湖南省土壤普查办公室. 湖南土壤[M]. 科学出版社, 1992: 299-303.
- [70] 黄昌勇. 土壤学[M]. 北京: 中国农业出版社, 2000: 192.
- [69] 南京农学院土壤研究所. 土壤化分析[M]. 农业出版社, 1983.

## 致谢

本文是在导师海春兴教授悉心指导下完成的。导师渊博的专业知识，严谨的治学态度，精益求精的工作作风，诲人不倦的高尚师德，严于律己、宽以待人的崇高风范，朴实无华、平易近人的人格魅力对我影响深远。不仅使我树立了远大的学术目标、掌握了基本的研究方法，还使我明白了许多做人待物与为人处事的道理。从本文选题到完成，倾注了导师大量心血。在此，谨向导师表示衷心的敬意和衷心的感谢！

本文的顺利完成离不开各位老师、同学和朋友的关系和帮助。在此感谢包括兰老师在内的实验指导，感谢姜洪涛、王静、蔚东跃和方毅等同学在采样、实验、资料整理和数据处理的过程中给予的大力帮助。

在此论文完成之际，谨向导师和曾给予我教诲、关心和帮助的老师、同学们以及参与论文评阅和答辩的老师们表示衷心的感谢！

